

УДК 546.224-3:547-36

Р. Е. Хома^{1,2}, А. А.-А. Эннан²¹Одесский национальный университет имени И. И. Мечникова,
ул. Дворянская, 2, Одесса, Украина, 65082; email: rek@onu.edu.ua²Физико-химический институт защиты окружающей среды и человека МОН
и НАН Украины, ул. Преображенская 3, Одесса, 65082, Украина

МОЛЕКУЛЯРНЫЕ КОМПЛЕКСЫ ОКСИДА СЕРЫ (IV) С N,O-СОДЕРЖАЩИМИ ОРГАНИЧЕСКИМИ ОСНОВАНИЯМИ (ОБЗОР)

Систематизированы и обобщены литературные данные по синтезу, стехиометрии, строению и относительной устойчивости молекулярных комплексов оксида серы (IV) с N,O-содержащими органическими основаниями. Особое вниманиеделено механизмам образования комплексов с переносом заряда, в которых реализуется S \leftarrow N- и S \leftarrow O- связывание, а также ван-дер-ваальсовых комплексов. Отмечены корреляции между электронными, спектральными параметрами, строением, относительной устойчивостью и другими характеристиками образуемых соединений.

Ключевые слова: оксид серы (IV), N,O-содержащие органические основания, комплексы с переносом заряда, ван-дер-ваальсовые комплексы.

Оксид серы (IV) – один из основных газообразных токсичных загрязнителей атмосферы антропогенного происхождения (более 200 млн. т/год), последствия воздействия которого на окружающую среду обнаружаются в виде так называемых «кислотных» дождей [1, 2]. В качестве эффективных хемосорбентов в схемах очистки отходящих газов от кислых газов (SO_2 , H_2S , CO_2 , HF, SiF_4 , BF_3) используются органические основания и их соли [3–9], обладающие рядом преимуществ перед традиционными неорганическими хемосорбентами. В работе [10] обобщены данные по матрично изолированным комплексам, в том числе с SO_2 . В обзоре [3] обсуждаются известные примеры осуществления процессов сорбции оксида серы (IV) органическими основаниями и их полимерными формами, пути регенерации хемосорбентов и утилизации продуктов сорбции. С другой стороны, авторами [11] обобщены лишь данные, касающиеся координационных соединений, в (для) которых SO_2 выступает в качестве лиганда либо среды их синтеза.

Хотя более 100 лет известно, что SO_2 способен образовывать комплексы 1:1 с аминами (в том числе с аммиаком, анилином, гидразином и третичными аминами), однако некоторое обобщение сведений об указанных продуктах взаимодействия и возможных путях их дальнейшего применения сделано лишь в работах [12–14].

Вместе с тем, в последние годы появилось значительное число интересных публикаций в этой области, и, очевидно, назрела необходимость в новом обзоре. Цель настоящего обзора – систематизация и обобщение данных по методам синтеза, строению и относительной устойчивости молекулярных комплексов оксида серы (IV) с N,O-содержащими органическими основаниями.

Электронное строение и кислотность по Льюису оксида серы (IV)

Электронное строение молекулы оксида серы (IV) была предметом анализа многочисленных публикаций (см., например, [15–17]). В основном состоянии

в угловой молекуле SO_2 реализуется электронная конфигурация $(5\text{a}_1)^2(3\text{b}_2)^2(6\text{a}_1)^2(4\text{b}_2)^2(7\text{a}_1)^2(2\text{b}_1)^2(5\text{b}_2)^2(1\text{a}_2)^2(8\text{a}_1)^2$, что приводит к $\sim\text{X}1\text{A}1$ состоянию [18, 19]. Низшая занятая MO (НЗМО) 5a_1 является сильно связывающей σ -орбиталью: основной вклад в связывание вносит взаимодействие $3s$ -АО серы с симметричной σ -орбиталью лигандов. Следующая по энергии MO 3b_1 в основном π -типа, причем связь осуществляется целиком за счет $3p$ -АО серы. Орбита 6a_1 главным образом σ -типа, 1a_2 и 4b_2 – чистого π -типа, 7a_1 и 8a_1 – смешанного σ - и π -типа. В образовании σ -связи принимают участие только $3s$ - и $3p$ -АО серы. Энергию связывания почти полностью компенсирует $s\sigma$ -разрыхление MO 3b_2 и 8a_1 . π -Связывание осуществляется при участии $3p$ - и $3d$ -АО серы. Модель отталкивания электронных пар валентной оболочки (ОЭПВО) [20], с позиций которой геометрия соединений непереходных элементов представляется как результат минимизации электростатических взаимодействий локализованных на центральном атоме электронных пар, предусматривает тригональную координацию AX_2E двух атомов кислорода и неподеленной электронной пары у атома серы. Судя по результатам полуэмпирических (метод PM3) [21] и неэмпирических расчетов [22], на атоме серы локализуется значительный эффективный положительный заряд (+1,3 [21], +1,1 [22, 23]) и этим обусловлена активность оксида серы (IV) в реакциях с нуклеофильными реагентами. Согласно [24], маллигеновская заселенность атома серы в SO_2 составляет +1,5 и +1,25 при расчетах в sp - и spd -базисах соответственно; отмечена несущественная роль $3d$ -АО S в связывании.

Молекула SO_2 может реагировать как слабая кислота Льюиса, используя локализованную в основном на атоме серы нижнюю свободную MO (НСМО) симметрии 8a_1 , или как основание Льюиса, используя либо верхнюю занятую MO (ВЗМО) 1a_2 , локализованную на атомах кислорода, либо орбита 3b_1 , локализованную на атоме серы [25].

В рамках концепции «жестких» и «мягких» кислот и оснований (ЖМКО) Пирсона [26] оксид серы (IV) обычно рассматривается как кислота Льюиса, пограничная по своим свойствам между «жесткими» и «мягкими» кислотами. Следует однако отметить, что известные данные об относительной устойчивости комплексов SO_2 с основаниями Льюиса различной природы [13] свидетельствуют скорее в пользу «жестких» свойств оксида серы (IV), что в какой-то степени подтверждается результатами количественной оценки льюисовской кислотности SO_2 в газовой фазе по отношению к фторид- и хлорид-ионам методом ион-циклотронного резонанса [27]. По данным [27] значение сродства $D(\text{SO}_2-\text{F}^-) > D(\text{SO}_2-\text{Cl}^-)$ (43,8 и 20,9 ккал/моль соответственно), что, в общем, характерно для «жестких» кислот Льюиса. Судя по приведенным выше величинам D , SO_2 является заметно более слабой кислотой Льюиса по сравнению, например, с такими акцепторами, как BF_3 и SiF_4 .

Энергия сродства к электрону для SO_2 равняется 1,107 eV [28]. Существует несколько шкал льюисовской кислотности (основности) [29]. В рамках ЖМКО используются шкалы электроотрицательности ($\chi = 6,7$ eV) и жесткости ($\eta = 5,6$ eV) [29]; в уравнении Драго оперируют электростатической ($E_A = 1,04$) и ковалентной ($C_A = 3,19$) составляющей [30]; в методе принципиального компонентного анализа используют хемометрическую ($\theta = -45$) и ковалентно-электростатическую ($C_A/E_A = 3,1$) характеристики [29].

Методы синтеза молекулярных комплексов SO_2

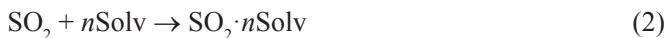
Три- и тетракоординационные комплексы оксида серы (IV) с органическими основаниями наиболее часто синтезируют по общей схеме (1) следующими путями:



- а) сорбцией SO_2 органическим растворителем (в качестве растворителя выступает само основание) [31-43];
- б) растворением органического основания в жидком SO_2 с (в качестве растворителя выступает сам оксид серы (IV)) [44, 45];
- в) насыщением растворителя газообразным оксидом серы (IV), а затем прибавлением к полученному раствору органического основания [46-48];
- г) пропусканием газообразного SO_2 через раствор, содержащий органическое основание [36, 46-59];

д) изучением превращений в матрицах N_2 или благородных газов [10, 22, 60-68].

На выход продуктов реакции оксида серы (IV) с аминами существенное влияние оказывает природа растворителя, температура синтеза и соотношение $\text{SO}_2 \cdot \text{L}$ в реакционной среде. Так, в ряду растворителей бензол – толуол – хлороформ – ацетонитрил – пропанол уменьшается выход продукта реакции оксида серы (IV) с гексаметилентетрамином (ГМТА) состава $2\text{SO}_2 \cdot \text{C}_6\text{H}_{12}\text{N}_4$ [47]. Это может быть объяснено тем, что в указанном ряду увеличивается донорное число по Гутману (D_N) [69, 70], то есть с повышением основности растворителя понижается выход целевого продукта за счет конкурентной реакции:



где Solv – растворитель. Согласно [47], практический выход продуктов взаимодействия алифатических аминов с оксидом серы (IV) из толуола на 7 % выше, чем из менее полярного бензола.

Согласно [47, 55], при взаимодействии оксида серы (IV) с бензиламином, дигензиламином и тригензиламином в бензольных растворах при молярном соотношении в реакционной среде $\text{SO}_2 \cdot \text{амин} = 1:6$ образуются мелкокристаллические осадки состава $\text{SO}_2 \cdot \text{L}$. Увеличение времени пропускания оксида серы (IV) через насыщенный раствор амина в растворителе, значительно повышает выход конечного продукта.

Выход соединения $\text{SO}_2 \cdot o\text{-CH}_3\text{C}_6\text{H}_4\text{NH}_2$ из таких растворителей, как ацетон и этиanol, значительно ниже, чем при синтезе в среде аprotонных растворителей. Выход комплекса $\text{SO}_2 \cdot o\text{-CH}_3\text{C}_6\text{H}_4\text{NH}_2$ снижается в ряду растворителей толуол – бензол – хлороформ – гексан – ацетон – этиanol [49, 71, 72], что также может быть обусловлено конкурирующей реакцией (2), так как в указанном ряду растворителей увеличивается значение (D_N) [69, 70].

Значительное увеличение выхода аддукта оксида серы (IV) с анилином ($(\text{SO}_2 \cdot o\text{-CH}_3\text{OC}_6\text{H}_4\text{NH}_2)$) в работе [46] было достигнуто при понижении температуры синтеза вплоть до -9°C . Увеличение времени пропускания оксида серы (IV) через толуольный раствор *n*-толуидина приводит к увеличению выхода аддукта ($(\text{SO}_2 \cdot n\text{-CH}_3\text{C}_6\text{H}_4\text{NH}_2)$) (до ~63 % при времени пропускания 90 мин), а затем к некоторому снижению, что в работе [46] связывают с его растворимостью в реакционном растворе.

Стехиометрия и типы координации молекулярных комплексов

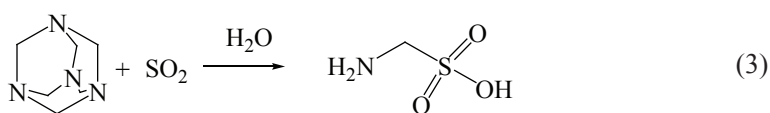
Судя по данным, представленным в работах [13, 35, 46-49, 55, 64, 65, 73-76], моноамины и гидразины (1,1-диметилгидразин, N-аминопиперидин, N-амино-гомопиперидин и N-аминоморфолин) независимо от положения и размера заместителей в неводных растворах образуют с оксидом серы (IV) продукты типа $\text{SO}_2 \cdot \text{L}$. Для имидазола и его производных характерно образование продуктов состава $\text{SO}_2 \cdot \text{Am}$ [77]. Следует отметить, что анилин, *o*- и *n*-толуидины, *n*-анизидин [13, 49, 72, 78], подобно аммиаку [79], образуют также продукты состава $\text{SO}_2 \cdot 2\text{L}$. Для гексаметилендиамина, 4,4'-бипиридила, 1,4-диазобицикло[2.2.2]октана (DABCO) и N,N,N',N'-тетраметил-*p*-фенилендиамина (TMPPDA) выделены соединения состава $2\text{SO}_2 \cdot \text{L}$, что связано с наличием двух электронодонорных атомов N в молекулах лигандов [47, 80-83].

Для системы «оксид серы (IV) – N-метил-2-пирролидон» максимумы на диаграмме «состав – температура замерзания» наблюдаются при соотношении компонентов 1:1 (+2,6 °C) и 1:2 (-14,0 °C) [31], что является косвенным подтверждением состава образующихся соединений. Приготовленные эквимолярные системы «оксид серы (IV) – N,N’-(диметилпропилен)карбамид» и «оксид серы (IV) – N-метил-2-пирролидон», по мнению авторов [38], являются индивидуальными соединениями. На образование комплекса $\text{SO}_2 \cdot \text{L}$ в последней системе указывают данные работы [84].

В системе «оксид серы (IV) – N-формилморфолин» зафиксировано два соединения: $\text{SO}_2 \cdot \text{L}$ и $2\text{SO}_2 \cdot \text{L}$ [39]; «оксид серы (IV) – диметилформамид» – три ($2\text{SO}_2 \cdot \text{L}$, $\text{SO}_2 \cdot \text{L}$ и $2\tilde{\text{S}}\text{O}_2 \cdot \text{L}$) [34]. Из этанольных растворов в случае амбидентантного карбамида выделены продукты состава $\text{SO}_2 \cdot \text{L}$ и $3\text{SO}_2 \cdot 2\text{L}$, а тиокарбамида – только $\tilde{\text{S}}\text{O}_2 \cdot \text{L}$ [85]. Из системы « $\text{SO}_2 - \text{NH}_2\text{C}(\text{O})\text{NH}_2 - \text{H}_2\text{O}$ » путем изотермического испарения выделен молекулярный комплекс состава $\tilde{\text{S}}\text{O}_2 \cdot \text{L}_2 \cdot (\text{H}_2\text{O})_2$ [86]. В подобных условиях с 2,2'-бипиридилом выделены соединения состава $\text{SO}_2 \cdot (\text{L})_3 \cdot \text{H}_2\text{O}$ и $\text{SO}_2 \cdot (\text{L})_2 \cdot (\text{H}_2\text{O})_2$ [87].

Применение возможностей УФ-спектрофотометрии (метод молярных отношений) и потенциометрии (метод насыщения) позволило установить соотношение оксида серы (IV) и амидов в образуемых соединениях в воде [53, 54, 56-58, 86, 88, 89].

ГМТА с оксидом серы (IV) в неводных средах образует только соединение состава $2\text{SO}_2 \cdot \text{L}$ [13, 85, 90], в отличие от водных растворов, где в результате кислотно-катализируемого гидролитического распада лиганда образуются продукты конденсации, в частности аминометансульфокислота [91, 92]:



Из растворов в хлороформе тетрадентантные *мезо*-терафенилпорфирины и его *n*-Cl, *n*-CH₃ и *n*-CH₃O производные дают только комплексы состава $2\text{SO}_2 \cdot \text{L}$ [59].

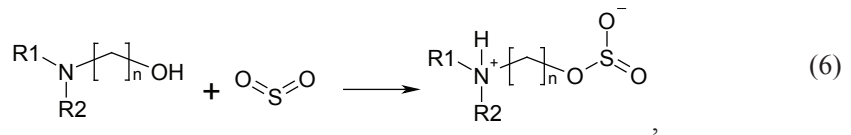
Из бензола, толуола, хлороформа выделен продукт сmonoэтаноламином белого цвета состава $\text{SO}_2 \cdot 2\text{L}$ [93]. Для диэтаноламина и триэтаноламина получены тяжелые вязкие жидкые продукты ярко-желтого цвета состава $\text{SO}_2 \cdot \text{L}$ [93]. Из эквимолярной жидкой системы «оксид серы (IV) – N-метилдиэтаноламин» выделен кристал-

лический продукт состава $\text{SO}_2 \cdot \text{CH}_3\text{N}(\text{CH}_2\text{CH}_2\text{OH})_2$ [38]. Взаимодействие SO_2 с метилдиэтаноламином авторы [94, 95] описывают уравнениями:

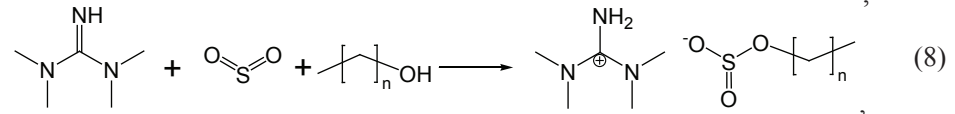
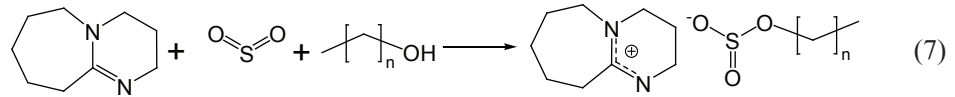


Согласно результатам термодинамических расчетов [94, 95], вероятность протекания реакций (4, 5) достаточно велика, причем схема (5) предпочтительно реализуется при увеличении температуры и содержания SO_2 в газовой смеси.

Судя по данным ^1H , ^{13}C ЯМР спектрометрии и ИК-спектроскопии [42], при взаимодействии N,N-дибутилундеканола с оксидом серы (IV) образуется ионная жидкость, которая представляет собой соединение состава $\text{SO}_2:\text{L} = 1:1$:



где R1, R2 = $-\text{C}_4\text{H}_9$; n = 11. В случае 1,2-аминоспиртов по данным ^1H , ^{13}C ЯМР спектрометрии и ИК-спектроскопии [96, 97] также отмечено образование продуктов не молекулярного, а цвиттерионного строения. Очевидно, это свойственно и для других аминоспиртов при образовании соединений 1:1. Подтверждением этого являются реакции 1,8-диазобицикло[5.4.0]ундек-7-ена и тетраметилгуанидина с SO_2 в присутствии гексанола-1 [41]:



где n = 5.

Согласно квантово-химическим расчетам в молекулярных комплексах оксида серы (IV) с H_2O , H_2S , NH_3 , CH_3NH_2 , $(\text{CH}_3)_2\text{NH}$ и PH_3 происходит взаимодействие неподеленной электронной пары лиганда, находящейся на электроотрицательном атоме (O, S, N), с π^* MO SO_2 таким образом, что π -дативная связь находится ортогонально к плоскости SO_2 [61, 98, 99]. В аминокомплексах плоскость молекулы SO_2 является приблизительно перпендикулярной к S—N связи [61, 75, 100], которая находится в коллинеарном положении к оси C_3 амина, что обнаружено в твердом [64, 82, 101] и газовом состоянии [65-68, 102]. Данный факт не свидетельствует о диполярном взаимодействии, но благоприятствует при учете электростатических членов высшего порядка при проведении квантово-химических расчетов [102, 103]. При взаимодействии оксида серы (IV) с гидразинами (R_2NNH_2) π -дативное S—N связывание происходит за счет π -электронов атомов азота R_2N групп [74]; с имидазолом и его производными — π -электронов имидазольного атома N [77]; с мезо-терафенилпорфиринаами — π -электронов пирролидинового азота [59].

Данные микроволновой спектроскопии матрично изолированного ван-дер-ваальсового комплекса $\text{SO}_2 \cdot \text{C}_6\text{H}_5\text{N}$ показали, что молекула SO_2 находится параллельно бензольному кольцу [102]. При этом π -электронная плотность ароматического кольца реагирует с π^* -орбиталами SO_2 . В комплексе $\text{SO}_2 \cdot \text{C}_6\text{H}_5\text{N}$ реализуются $\text{S} \leftarrow \text{N}$ и *ортого* $\text{O} \cdots \text{H}$ связывание [75]; пиридин повернут на 70–80° так, что он находится почти перпендикулярно к плоскости SO_2 [66, 67]. Подобное наблюдается при $\text{Se} \leftarrow \text{N}$ связывании в молекулярных комплексах SeO_2 с пиридином и триметиламином [105].

При теоретических расчетах комплексов с ароматическими аминами (например N,N -диметиланилином [43]) учитывается, что π -неподеленная электронная пара атома N находится в сопряжении с ароматической π -системой кольца [106]. Однако данные ^{13}C ЯМР спектрометрии указывают на то, что комплексообразование ариламинов с оксидом серы (IV) включает в себя перенос заряда с молекулярной орбитали, локализованной в основном на атоме азота, то есть образующиеся при этом молекулярные комплексы преимущественно имеют *n*-характер [35].

Упрочнение структуры молекулярных комплексов SO_2 с аминами, гидразинами, *мезо*-терафенилпорфиринаами проходит за счет межмолекулярных водородных связей между аминными, гидразинными, пиррольными и т.д. протонами и закомплексованным SO_2 [59, 68, 74, 84, 107].

В молекулярном комплексе $\text{SO}_2 \cdot (\text{NH}_2\text{CONH}_2)_2 \cdot (\text{H}_2\text{O})_2$, судя по данным ИК-спектроскопии, ^{13}C и ^1H ЯМР спектрометрии реализуется $\text{S} \leftarrow \text{O}=\text{C}$ координация, а дополнительная стабилизация происходит за счет H-связей с участием карбамидных протонов и молекул воды [86]. В соединениях состава $\text{SO}_2 \cdot \text{L}$ с аминами (N -метил-2-пирролидинон и ДМФА) по данным ИК- и КР-спектроскопии, ^{17}O , ^{13}C и ^1H ЯМР спектрометрии, а также квантово-химических расчетов $\text{S} \leftarrow \text{O}=\text{C}$ связывание происходит за счет π -электронов $-\text{N}-\text{C}=\text{O}$ системы [31, 84, 108].

Согласно данным, представленным в табл. 1, в комплексах длины связей $\text{S} \leftarrow \text{N}$ являются промежуточными между суммой ван-дер-ваальсовых радиусов атомов N и S ($\approx 3,25$ Å) [109] и рассчитанной длины одинарной связи $\text{S} \leftarrow \text{N}$, как суммы ковалентных радиусов (1,76 Å) [110], что свидетельствует о «частичном связывании» [111]. В соединениях $\text{SO}_3 \cdot (\text{CH}_3)_n\text{NH}_{3-n}$ ($n = 0 \div 3$) $\text{S} \leftarrow \text{N}$ связь ($d_{\text{S} \leftarrow \text{N}} = 1,771 \div 1,844$ Å [112]) имеет более ковалентный характер, чем в молекулярных комплексах SO_2 (табл. 1). Для «слабых» комплексов межмолекулярные расстояния составляют 2.51–3.06 Å, тогда как для сильно взаимодействующих димеров – 1.68–1.95 Å [113]. Расстояния S-O (1,433 – 1,461 Å) по величине примерно такие же, как и в твердом (1,430 Å) [114] и газообразном (1,431 Å) SO_2 [115]. С другой стороны, углы O-S-O значительно сокращены (112,3 – 116,9°), по сравнению с теми, которые характерны для твердого и газообразного SO_2 (119,5 и 119,3°), что согласуется с данными [101]. Согласно расчетным данным [61, 75], с увеличением *p*-характера атома N (в ряду $sp > sp^2 > sp^3$) и степени метилирования атома N за счет положительного +I-эффекта CH_3 -групп (в ряду $\text{NH}_3 - \text{CH}_3\text{NH}_2 - (\text{CH}_3)_2\text{NH} - (\text{CH}_3)_3\text{N}$) происходит усиление смещения π -электронной плотности от N на π^* -МО орбитали SO_2 , о чем свидетельствует уменьшение длины связи $\text{S} \leftarrow \text{N}$ (табл. 1) [68, 75]. Как отмечено в [100], энергия связи $\text{S} \leftarrow \text{N}$ коррелирует с основностью амина или его D_N , а стерический эффект заместителя уменьшает энергию связи с увеличением величины расстояний $d_{\text{S} \leftarrow \text{N}}$.

Авторами [117] для учета различия в размерах гетероатомов, образующих полярную донорно-акцепторную связь, введена характеристическая величина Δr_{DA} :

$$\Delta r_{AD} = r_{AD} - a_1(r_A + r_D), \quad (9)$$

где r_{AD} – длина донорно-акцепторной связи; r_A и r_D – значения гомополярных ковалентных радиусов гетероатомов, образующих эту связь; эмпирический коэффициент $a_1 = 0,901 \pm 0,007$. При $\Delta r_{AD} > 1$ прочность комплексов определяется ван-дер-ваальсовыми взаимодействиями между компонентами. При увеличении прочности связывания длина донорно-акцепторной связи приближается к сумме гетерополярных ковалентных радиусов атомов, образующих эту связь и величина Δr_{AD} стремится к нулю. При этом по своему физическому смыслу произведение $a_1(r_A + r_D)$ является суммой ковалентных радиусов для гетерополярных связей.

С увеличением величины сродства к протону (PA) основания наблюдается уменьшение значений Δr_{SN} (табл. 1). При этом вклад сил переноса заряда возрастает, а ван-дер-ваальсовых падает [117].

Данные КР и ИК спектроскопии показали, что для N-метиланилина, N,N-диметиланилина и N,N-диэтиланилина взаимодействия с оксидом серы (IV) слабее, чем для алифатических аминов, в то время как для *n*-фенилендиамина и N,N,N',N'-тетраметил-*n*-фенилендиамина взаимодействия сопоставимы с триметиламином. Вместе с тем, спектральные данные для комплекса $C_6H_5NH_2 \cdot SO_2$ свидетельствуют о наличии прочных межмолекулярных водородных связей NH₂-групп анилина с оксидом серы (IV) [107].

По данным [35], в спектрах ¹³C ЯМР продуктов взаимодействия ариламинов с оксидом серы (IV) не наблюдается корреляций между значениями химических сдвигов ($\Delta\delta$) сигналов атомов углерода и основностью аминов (pK_b). В то же время корреляций также не было найдено между смещением частот SO_2 (v_s и v_{as}), в его КПЗ с ароматическим аминами и их pK_b [107]. Наблюдаемые несоответствия можно объяснить следующим образом. С одной стороны, значения pK_b являются мерой протонодонорной способности – ситуация, в которой эффекты стерического препятствия имеют второстепенное значение; с другой стороны, размеры молекулы оксида серы (IV) таковы, что эффекты стерических помех могут изменять ожидающую тенденцию в положении $v_s(SO_2)$, $v_{as}(SO_2)$ и $\delta(^{13}C)$ на основании значений pK_b .

С увеличением степени метилирования атома N в ряду NH₃ – CH₃NH₂ – (CH₃)₂NH – (CH₃)₃N растут абсолютные значения $\Delta v_{as}(SO_2)\Delta\delta(SO_2)$ [61]. В обзоре [10] для матрично изолированных комплексов отмечены зависимости $v_{as}(SO_2)$ от PA .

Устойчивость молекулярных комплексов

Одной из важнейших характеристик молекулярных комплексов является энталпия реакции комплексообразования (ΔH_{AD}), характеризующая прочность донорно-акцепторной связи. ΔH_{AD} , в отличие от энталпии образования ковалентной связи, изменяется в весьма широком диапазоне – от нескольких единиц до ста и более Дж [117].

Для понимания природы донорно-акцепторного взаимодействия неоднократно предпринимались попытки установить взаимосвязь ΔH_{AD} с другими характеристиками молекулярных комплексов, например, с положением полос переноса заряда в электронных спектрах поглощения (ЭСП), дипольными моментами комплексов, изменением энтропии реакций комплексообразования, химическим сдвигом при координации и т.д. [117].

Таблица 1

Длины связей и валентные углы в молекулярных комплексах SO_2

Лиганд	pK_a	P_A , кДж/ моль [116]	Ком- плекс	Расчетные данные			Данные микроволновой спектроскопии для газовой фазы			Кристаллографические данные		
				$d_{S\leftarrow N}$ (Δr_{SN}) Å	$d_{S\leftarrow N}$ (Δr_{SN}) Å	α_{OSO}	d_{S_O}	d_{S_O}	d_{S_O}	$d_{S\leftarrow N}$ (Δr_{SN}) Å	α_{OSO}	d_{S_O}
$(CH_3)_3N$	9,8	948,9	$SO_2 \cdot L$	2,241 (0,673) [75]	2,262 (0,694)	116,9	1,444-1,444	[101]	2,046 (0,478)	113,7	1,433-1,441	[101]
$(CH_3)_2NH$	10,68	929,5	$SO_2 \cdot L$	2,308 (0,740) [75]	2,341 (0,773)	115,8	1,440-1,452	[68]	2,003 (0,435)	112,8	1,458-1,461	[64]
CH_3NH_2	10,63	899,0	$SO_2 \cdot L$	2,408 (0,840) [75]								
$(CH_2)_2NH$	11,22	954,0	$SO_2 \cdot L$						2,036 (0,468)	112,3	1,440-1,447	[76]
$(CH_3)_2NC_6H_5$	5,15	853,6	$SO_2 \cdot L$	2,601 (1,033) [43]								
$4-CH_3C_6H_5N$	6,02	947,2	$SO_2 \cdot L$	2,409 (0,841) [75]								
C_6H_5N	5,25	930,0	$SO_2 \cdot L$	2,437 (0,869) [75]	2,615 (1,047)			[66]				
$H_3CC\equiv N$		779,2	$SO_2 \cdot L$	2,893 (1,478) [75]								
$HC\equiv N$	4,79	772,3	$SO_2 \cdot L$	2,957 (1,542) [75]	2,981 (1,413)			[68]				
DABCO*	8,82	963,4	$2SO_2 \cdot L$						2,096-2,173			[83]
TMPDA*			$2SO_2 \cdot L$						2,337-2,340	113,5- 115,0	1,434	[82]

*DABCO – 1,4-диазобицикло[2.2.2]октан; TMPDA – N,N,N',N' -тетраметил-*n*-фенилендиамин

Согласно [46, 47], чем сильнее электронодонорные свойства N-лигандов, тем выше энталпия образования их комплексов с оксидом серы (IV). Зависимость энталпии образований комплексов с алкиламинами и бензиламинами состава $\text{SO}_2 \cdot \text{Am}$ от основности лиганда по данным [47] имеет вид:

$$-\Delta H^0 = 15,693 + 11,723 \cdot pK_a; R^2 = 0,9893 \quad n = 6 \quad (10)$$

Рост электронодонорной способности ариламиналиганды сопровождается увеличением значения энталпии разложения соответствующего комплекса в следующем порядке: $\text{SO}_2 \cdot o\text{-CH}_3\text{OC}_6\text{H}_4\text{NH}_2 < \text{SO}_2 \cdot o\text{-CH}_3\text{C}_6\text{H}_4\text{NH}_2 < \text{SO}_2 \cdot m\text{-CH}_3\text{OC}_6\text{H}_4\text{NH}_2 \approx \text{SO}_2 \cdot m\text{-CH}_3\text{C}_6\text{H}_4\text{NH}_2 < \text{SO}_2 \cdot C_6\text{H}_5\text{NH}_2 < \text{SO}_2 \cdot n\text{-CH}_3\text{OC}_6\text{H}_4\text{NH}_2 < \text{SO}_2 \cdot n\text{-CH}_3\text{C}_6\text{H}_4\text{NH}_2$ [46]. В то же время по данным [46] значения ΔH^0 комплексов с ариламинами линейно коррелируют с величинами смещений Δv_{CN} в ИК-спектрах этих соединений:

$$-\Delta H^0 = 40,952 + 1,969 \cdot \Delta v_{\text{CN}}; R^2 = 0,9592 \quad n = 6 \quad (11)$$

В монографии [103] только для соединений I_2 , SnCl_4 , TiCl_4 с N-лигандами приведена линейная зависимость ΔH_{AD} от степени переноса заряда от донора (D) к акцептору (A) $\mu_{\text{AD}}/(e \cdot r_{\text{DA}})$:

$$-\Delta H_{\text{AD}} = 35,5 \mu_{\text{AD}}/(e \cdot r_{\text{AD}}), \quad (12)$$

где μ_{AD} – дипольный момент, r_{AD} – длина донорно-акцепторной связи, e – заряд электрона. Однако, предпринятая нами попытка получить зависимость ΔH^0 от степени переноса заряда от N к S в молекулярных комплексах $\text{SO}_2 \cdot \text{L}$ с привлечением данных квантово-химических расчетов [75] положительных результатов не дала.

Как и для многих других физико-химических процессов [119-121], в случае образования вышеуказанных молекулярных комплексов I_2 , SnCl_4 , TiCl_4 [117] отмечена энталпийно-энтропийная компенсация, заключающаяся в том, что усиление межмолекулярного взаимодействия приводит к понижению конфигурационной свободы системы, следовательно, к понижению энтропии. Компенсационный эффект выражается уравнением (13), в котором изотермодинамическая температура (β_i) равна 337 К, а свободный член (α_i) – 3100 Дж/моль. В монографии [29] отмечены корреляции между значениями ΔH_{AD} и ΔG_{AD} для молекулярных комплексов SbCl_5 , I_2 и комплексов с водородными связями.

$$\Delta H_{\text{AD}} = \alpha_i + \beta_i \cdot \Delta S_{\text{AD}} \quad (13)$$

В случае комплексообразования оксида серы (IV) с различными основаниями Льюиса по данным [31, 39, 122-125] нами выявлена энталпийно-энтропийная компенсация (рис. 1). При этом коэффициенты в уравнении (13) численно равны $\beta_{\text{S} \leftarrow \text{N}} = 292$ К, $\alpha_{\text{S} \leftarrow \text{N}} = 650$ Дж/моль (при $n = 19$; $R^2 = 0,967$), $\beta_{\text{S} \leftarrow \text{O}} = 284$ К, $\alpha_{\text{S} \leftarrow \text{O}} = 440$ Дж/моль (при $n = 10$; $R^2 = 0,959$) и отличаются от таковых для комплексов I_2 , SnCl_4 , TiCl_4 .

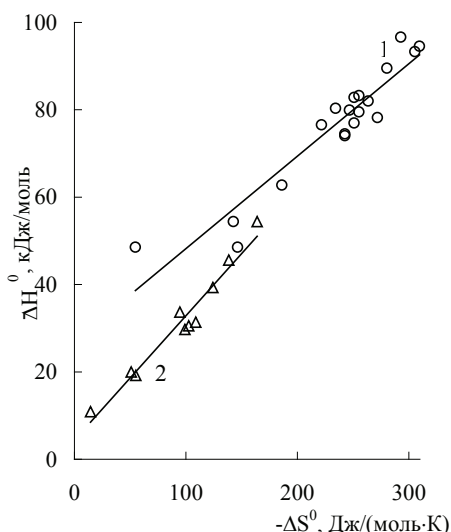


Рис. 1. Энталпийно-энтропийная компенсация при образовании молекулярных комплексов оксида серы (IV). 1 – $\text{S} \leftarrow \text{N}$ комплексы; 2 – $\text{S} \leftarrow \text{O}$ комплексы.

В результате анализа данных, относящихся к структуре и термодинамике образования молекулярных комплексов [117], отмечена взаимосвязь между ΔH_{AD} и характеристической величиной Δr_{AD} :

$$-\Delta H_{\text{AD}} = a_2 \cdot (\Delta r_{\text{AD}})^k, \quad (14)$$

где эмпирический коэффициент $a_2 = 21,6 \pm 1,6$ кДж· \AA /моль; $k = 1$. При $\Delta r_{\text{AD}} > 1$ ΔH_{AD} стремится к нулю.

Однако в обработанном массиве данных (80 молекулярных комплексов) авторами [117] оксид серы (IV) упомянут только единичным примером, в виде комплекса $\text{SO}_2 \cdot (\text{CH}_3)_3\text{N}$. Очевидно, это связано с ограниченностью экспериментальных данных относительно термодинамики комплексообразования и длин донорно-акцепторных связей для одних и тех же соединений.

В связи с выше сказанным нами была сделана попытка установить взаимосвязь ΔH_{DA} и $r_{\text{DA}}(\Delta r_{\text{DA}})$ с привлечением данных квантово-химических расчетов [75]. Полученная зависимость $\Delta H^0 = f(\Delta r_{\text{SN}})$ (рис. 2) описывается уравнением (15), с коэффициентом достоверности аппроксимации $R^2 = 0,9841$.

$$-\Delta H^0 = 27,2 \cdot (\Delta r_{\text{SN}})^{-1,95}, n = 7 \quad (15)$$

Согласно полученным данным, учитывая идентичность уравнений (4) и (5), в случае с молекулярными комплексами $\text{SO}_2 \cdot \text{L}$ эмпирический коэффициент a_2 (27,2) принимает значение, приблизительно равное величине, вычисленной в [117] (21,6); показатель степени $k \approx 2$, отличен от 1. Последнее говорит о непригодности для молекулярных комплексов SO_2 модели [117], не учитывающей влияния дополнительных взаимодействий.

Известно [29], что константа (K_k) и энталпия комплексообразования (ΔH^0),

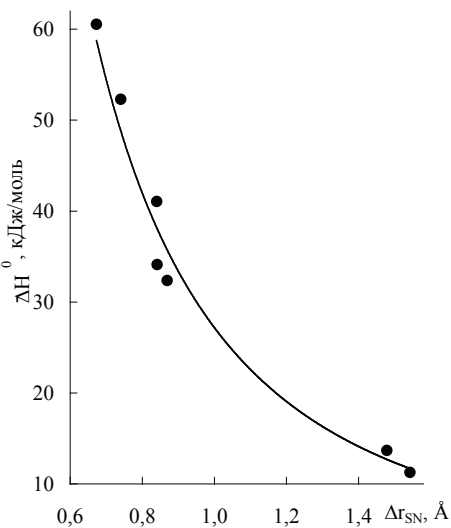


Рис. 2. Зависимость энталпии образования (ΔH^0 , кДж/моль) молекулярных комплексов SO_2 от характеристической величины (Δr_{SN} , \AA).

зависят от межмолекулярных взаимодействий SO_2 , L и $\text{SO}_2 \cdot \text{L}$ с растворителем. «Слабые» комплексы обычно имеют большие константы комплексообразования в газовой фазе, чем в растворе, в то время как обратное часто наблюдается для «сильных» комплексов [29] (табл. 2). Кроме того, электростатические силы в комплексах менее прочны в среде растворителя, что делает электростатически связанные молекулярные комплексы более стабильными в газовой фазе, чем в растворе [126]. То есть, если комплексы более стабильны в газовой фазе, чем в растворе, то электростатическая составляющая (ван-дер-ваальсовы силы) преобладает над ковалентной (силы переноса заряда) и наоборот.

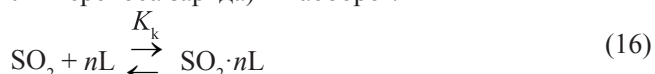


Таблица 2
Константы (K_k , л/моль) и энталпии (ΔH° , кДж/моль) комплексообразования
Льюисовских комплексов кислота-основание

Кислота	Основание	Газовая фаза		Раствор			Лит-ра
		K_k , л/моль	$-\Delta H^\circ$, кДж/моль	Раство- ритель	K_k , л/моль	$-\Delta H^\circ$, кДж/моль	
Комплексы более стабильны в газовой фазе, чем в растворе							
SO_2	транс-2-бутен	3,1		C_6H_{14}	0,08		[29]
I_2	C_6H_6	4,5	8,4	C_7H_{16}	0,24	6,8	[29]
I_2	$(\text{C}_2\text{H}_5)_2\text{O}$	6,4	18,8	C_7H_{16}	0,9	17,6	[29]
I_2	$(\text{C}_2\text{H}_5)_2\text{S}$	226	35,1	C_7H_{16}	195	35,2	[29]
CH_3OH	$(\text{CH}_3)_3\text{N}$	20,8	28,9	C_2Cl_4	4,6	23,7	[29]
$\text{CF}_3\text{CH}_2\text{OH}$	$\text{CH}_3\text{C}(\text{O})\text{CH}_3$	47,3	30,9	CCl_4	7,3	21,1	[29]
Комплексы более стабильны в растворе, чем в газовой фазе							
SO_2	$(\text{CH}_3)_3\text{N}$	340	40,6	C_7H_{16}	2550	46,1	[127, 128]
SO_2	$(\text{CH}_3)_3\text{N}$	340	40,6	CH_2Cl_2	63500	63,6	[127, 129]
SO_2	$(\text{CH}_3)_3\text{N}$	340	40,6	CHCl_3	36100	59,5	[127, 129]
BF_3	$(\text{CH}_3)_3\text{N}$		11,3	CH_2Cl_2		129,5	[29]
BF_3	$(\text{CH}_3)_3\text{P}$		79,1	CH_2Cl_2		87,4	[29]

По данным УФ-спектроскопии [93], в этанольных растворах этаноламинов реализуются комплексы состава $\text{SO}_2 \cdot \text{H}_{3-n}(\text{CH}_2\text{CH}_2\text{OH})_n$. Константы устойчивости этих соединений численно равны $(2,10 \pm 0,30) \cdot 10^{-3}$, $(2,34 \pm 0,60) \cdot 10^{-3}$ и $(0,78 \pm 0,13) \cdot 10^{-3}$ дляmono-, ди- и триэтаноламина соответственно. Рассчитанные значения констант устойчивости находятся в соответствии с pK_a этаноламинов в этаноле [93].

Ван-дер-ваальсовы клатраты

Особое место в химии оксида серы (IV) занимают его ван-дер-ваальсовы комплексы $\text{SO}_2 \cdot \text{CH} \equiv \text{CH}$, $\text{SO}_2 \cdot \text{CH}_2 = \text{CH}_2$, $\text{SO}_2 \cdot \text{C}_6\text{H}_6$, $\text{SO}_2 \cdot \text{C}_6\text{H}_6\text{CH}_3$, $\text{SO}_2 \cdot \text{C}_4\text{H}_4\text{O}$, $\text{SO}_2 \cdot \text{C}_3\text{H}_6$ [116], в том числе решетчатые клатраты $\text{SO}_2 \cdot (p\text{-HOC}_6\text{H}_4\text{OH})_3$ [117], $(\text{SO}_2)_3 \cdot (\text{bipy})_3 \cdot (\text{H}_2\text{O})$ и $(\text{SO}_2)_2 \cdot (\text{bipy})_2 \cdot (\text{H}_2\text{O})_2$ [87].

В пустоты кристаллической решетки 2,2'-дипиридила (bipy), не искажая ее структуры, входят рентгеноаморфные моно- и дигидрат SO_2 , которые взаимодействуют с каркасом хозяина посредством только ван-дер-ваальсовых сил [87]. Охарактеризованные комплексы – первые представители молекулярных соединений гидратов оксида серы (IV) и гетероциклического основания bipy указанного типа, в отличие от описанного комплекса $\text{SO}_2 \cdot \text{py}$, в котором реализуется взаимодействие $\text{S} \leftarrow \text{N}$ [75]. При образовании $\text{SO}_2 \cdot (p\text{-HOC}_6\text{H}_4\text{OH})_3$ реализуется структура β -гидрохинона, в которой основным супрамолекулярным синтоном является образованный водородными связями цикл $(\text{O}-\text{H})_6$, построенный из гидроксильных групп (по одной от каждой из шести молекул гидрохинона) [131].

Очевидно, что при взаимодействии в системе $\text{SO}_2 - \text{H}_2\text{O} - \text{bipy}$ не происходит диссоциация так называемой «сернистой» кислоты $(\text{SO}_2 \cdot \text{H}_2\text{O}; pK_{\text{a}1} = 1,86$ [132]) с последующим протонированием N-атома сравнительно низкоосновного bipy ($pK_{\text{a}} = 4,34$ [133]), в отличие от описанных ранее процессов взаимодействия SO_2 в воде с этианоламинами (выделены «ониевые» маслообразные гидросульфиты [134, 135] и кристаллический сульфит [136]) и высокоосновным двухкислотным аминогуанидином (образуется кристаллический моногидрат «ониевого» сульфита [137]). Кроме того, каркас хозяина bipy не способствует окислению гостевых молекул SO_2 кислородом воздуха, в отличие от систем с участием Tris [138], алкиламинов [139, 140],ベンзиламинов [141] и гексаметилендиамина [139] (выделены и структурно охарактеризованы продукты «мягкого» окисления S(IV) в S(VI) – «ониевые» сульфаты). С другой стороны, заметно более сильные по сравнению с $\text{SO}_2 \cdot \text{H}_2\text{O}$ минеральные кислоты (H_2SiF_6 [142], HBr [143] и HClO_4 [144]) ожидали протонируют bipy с образованием соответствующих «ониевых» солей.

Таким образом можно отметить, что на выход продуктов реакции оксида серы (IV) с органическими основаниями (в частности, аминами) существенное влияние оказывают условия синтеза: природа растворителя (основность, полярность), температура и соотношение $\text{SO}_2 : \text{L}$ в реакционной среде. Стехиометрия молекулярных комплексов $\text{SO}_2 \cdot n\text{L}$ зависит от дентантности лиганда, а также от его способности к H-связыванию. В результате взаимодействия оксида серы (IV) с органическими основаниями возможна реализация $\text{S} \leftarrow \text{N}$ - и $\text{S} \leftarrow \text{O}$ -связывания. Отмечены зависимости энталпий образования молекулярных комплексов от основности амина и спектральных характеристик; выявлена энталпийно-энтропийная компенсация для $\text{S} \leftarrow \text{N}$ - и $\text{S} \leftarrow \text{O}$ -связанных комплексов. Несмотря на ограниченность экспериментальных данных по термодинамике комплексообразования и длин донорно-акцепторных связей для одних и тех же соединений, установлено, что прочность связи $\text{S} \leftarrow \text{N}$ в молекулярных комплексах SO_2 зависит от характеристической величины Δr_{SN} . Отмечен вклад ван-дер-ваальсовых сил и сил переноса заряда в образование молекулярных комплексов оксида серы (IV).

СПИСОК ЛИТЕРАТУРЫ

1. Wang X.-B., Du J.-B., Cui H. Sulfur dioxide, a double-faced molecule in mammals // Life Sci. – 2014. – Vol. 98, N 2. – P. 63-67. <http://dx.doi.org/10.1016/j.lfs.2013.12.027>
2. Shallcross D.E. Dirty air // Educ. Chem. – 2006. – Vol. 43, №5. – P. 131-135.
3. Гельмбольдт В.О., Хома Р.Е., Еннан А.А. Органические основания в процессах улавливания и утилизации оксида серы (IV) (обзор) // Энерготехнологии и ресурсосбережение. – 2008. – № 4. – С. 51–58.
4. Huang K., Lu J.-F., Wu Y.-T., Hu X.-B., Zhang Z.-B. Absorption of SO₂ in aqueous solutions of mixed hydroxylammonium dicarboxylate ionic liquids // Chem. Eng. J. – 2013. – Vol. 215–216. – P. 36–44. <http://dx.doi.org/10.1016/j.cej.2012.10.091>
5. Hong S.Y., Kim H., Kim Y.J., Jeong J., Cheong M., Lee H., Kim H.S., Lee J.S. Nitrile-functionalized tertiary amines as highly efficient and reversible SO₂ absorbents // J. Hazard. Mater. – 2014. – Vol. 264. – P. 136–143. <http://dx.doi.org/10.1016/j.jhazmat.2013.11.026>
6. Еннан А.А., Кац Б.М. Аддукты тетрафторида кремния // Успехи химии. – 1974. – Т. 43, № 7. – С. 1186–1206.
7. Еннан А.А., Гельмбольдт В.О., Гаврилова Л.А. Стереохимия и реакционная способность фторокомплексов кремния. – М.: ВИНТИ, 1989. – 100 с.
8. Еннан А.А., Гельмбольдт В.О. Тетрафторид кремния в реакциях с органическими основаниями. – Одесса: Экология, 2005. – 160 с.
9. Гельмбольдт В.О. Ониевые фторосиликаты: структуры, свойства, применения. Одесса: Астропринт, 2012. – 160 с.
10. Young N.A. Main Group Coordination Chemistry at Low Temperatures: A Review of Matrix Isolated Group 12 to Group 18 Complexes. // Coord. Chem. Rev. – 2013. – Vol. 257, N 5-6. – P. 956–1010. <http://dx.doi.org/10.1016/j.ccr.2012.10.013>
11. Mews R., Lork E., Watson P.G., Gortler B. Coordination chemistry in and of sulfur dioxide // Coord. Chem. Rev. – 2000. – Vol. 197. – P. 277-320. [http://dx.doi.org/10.1016/S0010-8545\(99\)00191-5](http://dx.doi.org/10.1016/S0010-8545(99)00191-5)
12. Emmett E.J., Willis M.C. The development and application of sulfur dioxide surrogates in synthetic organic chemistry // Asian J. Org. Chem. – 2015. – Vol. 4, N 7. – P. 602-611. <http://dx.doi.org/10.1002/ajoc.201500103>
13. Нікітін В.І. О взаємодействії азотодержащих органіческих оснований з діоксидом сери // Вісник ОНУ. Хімія. – 2003. – Т. 8, № 4. – С. 200-211.
14. Хома Р.С., Нікітін В.І., Сохраниченко Г.П., Гавриленко М.І. Кислотно-основні взаємодії SO₂ з водними розчинами азотовмісних сполук (огляд) // Вісник ОНУ. Хімія. – 2002. – Т. 6, № 8. – С. 176-193.
15. Bae S.C., Son H.S., Kim G.H., Ku J.K. Vibronic Relaxation among the Clements Bands of SO₂ from the E-Band Excitation // J. Phys. Chem. A. – 1999. – Vol. 1-3. – P. 7432-7436. <http://dx.doi.org/10.1021/jp990390f>
16. Guantes R., Farantos S.C. High order finite difference methods algorithms far solving Scrodinger equation in molecular dynamics. II Periodic variables // J. Chem. Phys. – 2000. – Vol. 113, N 23. – P. 10429 – 10437. <http://dx.doi.org/10.1063/1.1324004>
17. Prosmitsi R., Farantos S.C., Guo H. Assigning the transition from normal to local vibrational mode in SO₂ by periodic orbits // Chem. Phys. Lett. – 2000. – N 311. – P. 241-247. [http://dx.doi.org/10.1016/s0009-2614\(99\)00850-7](http://dx.doi.org/10.1016/s0009-2614(99)00850-7)
18. Cooper G., Zarate E.B., Jones R.K., Brion C.E. Absolute oscillator strengths for photoabsorption, photoionization and ionic photofragmentation of sulphur dioxide. I. The valence shell // Chem. Phys. – 1991. – Vol. 150, N 2. – P. 237-250. [http://dx.doi.org/10.1016/0301-0104\(91\)80132-2](http://dx.doi.org/10.1016/0301-0104(91)80132-2)
19. Singh P.J., Shastri A., D'Souza R., Bhaskara Rao S.V.N., Jagatap B.N. VUV photoabsorption spectroscopy of sulphur dioxide in the 1400-1600 Å region: Vibronic analysis of the \tilde{E} - \tilde{X} system // J. Quant. Spectrosc. Radiat. Transfer. – 2012. – Vol. 113, N 4. – P. 267-278. <http://dx.doi.org/10.1016/j.jqsrt.2011.11.007>
20. Гиллеспі Р., Харгіттай І. Модель отталкивания электронных пар валентной оболочки и строение молекул. – М.: Мир, 1992. – 296 с.
21. Хома Р.С., Гавриленко М.І., Нікітін В.І. Напівемпіричні розрахунки рівноваг в системах діоксид сірки – карбамід – вода методом Монте-Карло // Вісник ОНУ. Хімія. – 2004. – Т.9, № 2. – С. 28–45.
22. Li S., Kurtz H., Korambath P., Li Y.-S. Infrared spectra, photochemistry, and ab initio calculations of matrix isolated methanethiol/sulfur dioxide complex // J. Mol. Struct. – 2000. – Vol. 550-551. – P. 235–244. [http://dx.doi.org/10.1016/S0022-2860\(00\)00520-2](http://dx.doi.org/10.1016/S0022-2860(00)00520-2)
23. Risberg E.D., Eriksson L., Mink J., Pettersson L.G.M., Skripkin M.Yu., Sandström M. Sulfur X-ray Absorption and Vibrational Spectroscopic Study of Sulfur Dioxide, Sulfite, and Sulfonate Solutions and of the Substituted Sulfonate Ions X_nCSO₃⁻ (X = H, Cl, F) // Inorg. Chem. – 2007. – Vol. 46, N 20. – P. 8332–8348. <http://dx.doi.org/10.1021/ic062440i>

24. Magnusson E. Hypercoordinate molecules of second-row elements: d functions or d orbitals? // J. Am. Chem. Soc. – 1990. – Vol. 112, N 22. – P. 7940–7951. <http://dx.doi.org/10.1021/ja00178a014>
25. Schenk W.A. Sulfur Oxides as Ligands in Coordination Compounds // Angew. Chem. Int. Edn. Engl. – 1987. – Vol. 26. – P. 98-109. <http://dx.doi.org/10.1002/chin.198724352>
26. Pearson R.G. Hard and soft acids and bases – the evolution of a chemical concept // Coord. Chem. Rev. – 1990. – Vol. 100. – P. 403-425. [http://dx.doi.org/10.1016/0010-8545\(90\)85016-L](http://dx.doi.org/10.1016/0010-8545(90)85016-L)
27. Larson J.W., McMahon T.B. Fluoride and chloride affinities of main group oxides, fluorides, oxofluorides, and alkyls. Quantitative scales of Lewis acidities from ion cyclotron resonance halide-exchange equilibria // J. Am. Chem. Soc. – 1985. – Vol. 107, N 4. – P. 766-773. <http://dx.doi.org/10.1021/chin.198527075>
28. Brinkmann N.R., Tschumper G.S., Schaefer III H.F. Electron affinities of the oxides of aluminum, silicon, phosphorus, sulfur, and chlorine // J. Chem. Phys. – 1999. – Vol. 110, N 13. – P. 6240-6245. <http://dx.doi.org/10.1063/1.478528>
29. Laurence C., Gal J.-F. Lewis Basicity and Affinity Scales: Data and Measurement. John Wiley & Sons Ltd, 2010. – 476 p. <http://dx.doi.org/10.1002/9780470681909>
30. Vogel G.C., Drago R.S. The ECW Model // J. Chem. Educ. – 1996. – Vol. 73, N 8. – P. 701-707. <http://dx.doi.org/10.1021/ed073p701>
31. Adams W.A., Kruus P., Patrabay T.J. The system sulfur dioxide – *N*-methyl-2-pyrrolidinone // Can. J. Chem. / Rev. Can. Chim. – 1983. – Vol. 61, N 1. – P. 37-44. <http://dx.doi.org/10.1139/v83-007>
32. Hartel G.H. Low-Volatility Polar Organic Solvents for Sulfur Dioxide, Hydrogen Sulfide, and Carbonyl Sulfide // J. Chem. Eng. Data. – 1985. – Vol. 30, N 1. – P. 57–61. <http://dx.doi.org/10.1021/je00039a019>
33. Gill J.B., Goodall D.C., Jeffreys B., Gans P. Reactions in mixed non-aqueous solutions containing sulphur dioxide. Part 7. A Raman spectroscopic study of adduct formation between sulphur dioxide and dimethyl sulphoxide // J. Chem. Soc., Dalton Trans. – 1986. – N 12. – P. 2597–2602. <http://dx.doi.org/10.1039/dt9860002597>
34. Gill J.B., Goodall D.C., Jeffreys B. Reactions in mixed non-aqueous solutions containing sulphur dioxide. Part 8. Phase studies of sulphur dioxide-dimethyl sulphoxide and sulphur dioxide-dimethylformamide mixtures // J. Chem. Soc., Dalton Trans. – 1986. – N 12. – P. 2603–2605. <http://dx.doi.org/10.1039/dt9860002603>
35. Faria D.L.A., Santos P.S. ^{13}C NMR Spectra of some Sulphur Dioxide-Aromatic Amine Complexes // Magn. Reson. Chem. – 1987. – Vol. 25, N 7. – P. 592–593. <http://dx.doi.org/10.1002/mrc.1260250708>
36. Demyanovich R.J., Lynn S. Vapor-Liquid Equilibria of Sulfur Dioxide in Polar Organic Solvents // Ind. Eng. Chem. Res. – 1987. – Vol. 26, N 3. – P. 548–555. <http://dx.doi.org/10.1021/ie00063a022>
37. Sciamanna S.F., Lynn S. Solubility of Hydrogen Sulfide, Sulfur dioxide, Carbon Dioxide, and *n*-Butane in Poly(glycol ethers) // Ind. Eng. Chem. Res. – 1988. – Vol. 27. – P. 492-499.
38. Dam M.H.H., Lamine A.S., Roizard D., Lochon P., Roizard C. Selective Sulfur Dioxide Removal using Organic solvents // Ind. Eng. Chem Res. – 1997. – Vol. 36, N 11. – P. 4628 – 4637. <http://dx.doi.org/10.1021/ie970111f>
39. Kermadec R., Lapoicque F., Roizard D., Roizard C. Characterization of the $\text{SO}_2\text{-N-Formylmorpholine}$ Complex: Application to a Regenerative Process for Waste Gas Scrubbing // Ind. Eng. Chem. Res. – 2002. – Vol. 41, N 2. – P. 153-163. <http://dx.doi.org/10.1021/ie010173c>
40. Nagel D., Kermadec R., Lintz H.G., Roizard C., Lapoicque F. Absorption of sulfur dioxide in N-formylmorpholine: investigations of the kinetics of the liquid phase reaction // Chem. Eng. Sci. – 2002. – Vol. – 57, N 22-23. – P. 4883-4893. [http://dx.doi.org/10.1016/s0009-2509\(02\)00283-x](http://dx.doi.org/10.1016/s0009-2509(02)00283-x)
41. Helebrant D.J., Yonker C.R., Jessop P.G., Phan L. Reversible Uptake of COS, CS_2 , and SO_2 : Ionic Liquids with O-Alkylxanthate, O-Alkylthiocarbonyl, and O-Alkylsulfite Anions // Chem. Eur. J. – 2009. – Vol. 15, N 31. – P. 7619-7627. <http://dx.doi.org/10.1002/chem.200802602>
42. Helebrant D.J., Koech P.K., Yonker C.R. A reversible zwitterionic SO_2 -binding organic liquid // Energy Environ. Sci. – 2010. – Vol. 3, N 1. – P. 111-113. <http://dx.doi.org/10.1039/B916550A>
43. Ando R.A., Matazo D.R.C., Santos P.S. Detailed analysis of the charge transfer complex $\text{N,N-dimethylaniline-SO}_2$ by Raman spectroscopy and density functional theory calculations // J. Raman Spectrosc. – 2010. – Vol. 41, N 7, P. 771–775. <http://dx.doi.org/10.1002/jrs.2514>
44. Nagai T., Katayama K., Tokura N. Electron transfer from amines to liquid sulfur dioxide // Chem. Lett. – 1973. – Vol. 2, N 8. – P. 919-922. <http://doi.org/10.1246/cl.1973.919>
45. Wu K.T., Yencha A.J. Rate processes and nuclear magnetic resonance spectra of amine $\bullet\text{SO}_2$ complexes + H_2O in liquid SO_2 // Can. J. Chem. – 1981. – Vol. 59, N 1. – P. 8-13. <http://dx.doi.org/10.1139/v81-002>
46. Рамадан А.М. Синтез и физико-химические исследования продуктов взаимодействия оксида серы (IV) с ароматическими и гетероциклическими азотсодержащими основаниями: Дис. ...канд. хим. наук: 02.00.01. – Одесса, 1994. – 121 с.
47. Курандо С.В. Координационные соединения оксидов серы (IV) и (VI) с азотсодержащими органическими основаниями: Дис...канд. хим. наук: 02.00.23. – Одесса, 1995. – 130 с.

48. Курандо С.В., Нікітін В.І. Аддукти оксиду сірки (IV) з алкіламінами // Вісник ОНУ. Хімія. – 2002. – Т. 6, №7. – С. 94–99.
49. Еннан А.А., Нікітін В.І., Гудимович Т.Ф., Березіна Л.П., Тихоненко Л.М. Комплексообразование оксида серы (IV) с *n*, *o*-толуїдином // Журн. неорган. хімии. – 1989. – Т. 34, №3. – С. 783–786.
50. Мохамед Р.А., Нікітін В.І., Карпинчик В.А. Исследование взаимодействия оксида серы (IV) с пиридином и изомерными пиколинами // Журн. неорган. хімии. – 1993. – Т. 38, №4. – С. 621–624.
51. Нікітін В.І., Сохраненко Г.П., Карпинчик В.А., Мохамед Р.А. Комплексообразование оксида серы (IV) с 4,4'-дипиридилом // Изв. ВУЗов. Химия и хим. технол. – 1994. – Т. 37, №1. – С. 30–34.
52. Березіна Л.П., Нікітін В.І., Сохраненко Г.П., Самойленко Г.В. Вплив етиленгліколю і сорбіту на фізико-хімічні властивості етаноламінів // Вісник ОНУ. Хімія. – 2000. – Т. 5, №2. – С. 3–8.
53. Нікітін В.І., Хома Р.Е., Гавриленко М.І. Потенциометрическое исследование процесса сорбции диоксида серы водным раствором карбамида // Изв. ВУЗов. Химия и хим. технол. – 2000. – Т. 43, № 2. – С. 14–16.
54. Хома Р.Е., Нікітін В.І., Гавриленко М.І. pH-метрическое исследование процесса сорбции диоксида серы 0,1 М раствором карбамида // Изв. ВУЗов. Химия и хим. технол. – 2001. – Т. 44, №6. – С. 42–44.
55. Курандо С.В., Нікітін В.І. Синтез і фізико-хімічні дослідження продуктів взаємодії оксиду сірки (IV) з бензиламінами // Вісник ОНУ. Хімія. – 2002. – Т. 6, №6. – С. 164–168.
56. Хома Р.Е., Нікітін В.І., Гавриленко М.І. О взаимодействии диоксида серы с водными растворами карбамида // Журн. прикл. химии. – 2003. – Т. 76, №4. – С. 533–537.
57. Хома Р.Е., Гавриленко М.І., Нікітін В.І. Исследования комплексообразования в системе вода – карбамид – диоксид серы при 293 К // Журн. прикл. химии. – 2004. – Т. 77, №8. – С. 1266–1270.
58. Хома Р.Е., Гавриленко М.І., Нікітін В.І. Взаимодействие диоксида серы с водными растворами амідов // Журн. общ. химии. – 2005. – Т. 75, № 5. – С. 771–777.
59. Dehghani H., Fathi F. Molecular complexation of meso-tetraphenylporphyrins with SO₂ // Dyes Pigments. – 2008. – Vol. 77, N 2. – P. 323–326. <http://dx.doi.org/10.1016/j.dyepig.2007.05.017>
60. Basu R.K., Dutta B.K. Kinetics of absorption of sulfur dioxide in dimethylaniline solution. // Can. J. Chem. Eng. – 1987. – Vol. 65, N 1. – P.27–35. <http://dx.doi.org/10.1002/cjce.5450650106>
61. Wong M.W., Wiberg K.B. Srtuctures, Bonding, and Absorption Spectra of Amine – Sulfur Dioxide Charge-Transfer Complexes // J. Am. Chem. Soc. – 1992. – Vol. 114. – P. 7527–7535. <http://dx.doi.org/10.1021/ja00045a028>
62. Eigner A.A., Wrass J.P., Smith E.L., Knutson C.C., Phillips J.A. Structural properties of CH₃CN-SO₂ in the gas phase and condensed-phase media via density functional theory and infrared spectroscopy // J. Mol. Struct. – 2009. – Vol. 919, N 1-3. – P. 312–320. <http://dx.doi.org/10.1016/j.molstruc.2008.09.024>
63. Ito F., Hirabayashi S. Infrared spectroscopy of SO₂ clusters in rare gas matrices revisited: Assignment of species in Ar matrix // Chem. Phys. – 2009. – Vol. 358, N 3. – P. 209–218. <http://dx.doi.org/10.1016/j.chemphys.2009.02.007>
64. Phillips J.A., Britton D., Leopold K.R. Gas-solid structure differences in the donor-acceptor complex (CH₃)₂HN-SO₂ // J. Chem. Crystallogr. // 1996. – Vol. 26, N 8. – P. 533–538. <http://dx.doi.org/10.1007/BF01668411>
65. LaBarge M.S., Matos J., Hillig K.W., Kuczkowski R.L. Microwave Spectrum and Structure of the Trimethylamine – Sulfur Dioxide Charge –Transfer Complex // J. Am. Chem. Soc. – 1987. – Vol. 109. – P. 7222–7223. <http://dx.doi.org/10.1021/ja00257a070>
66. Labarge M.S., Oh J.-J., Hillig II K.W., Kuczkowski R.L. The benzene-SO₂ and pyridine-SO₂ complexes // Chem. Phys. Lett. – 1989. – Vol. 159, N 5–6. – P. 559–562. [http://dx.doi.org/10.1016/0009-2614\(89\)87532-3](http://dx.doi.org/10.1016/0009-2614(89)87532-3)
67. Oh J.J., Hillig II K.W., Kuczkowski R.L. Microwave spectrum and structure of the pyridine-sulfur dioxide complex // J. Am. Chem. Soc. – 1991. – Vol. 113, N 20. – P. 7480–7484. <http://dx.doi.org/10.1021/ja00020a004>
68. Oh J.J., Hillig II K.W., Kuczkowski R.L. Structure of the Dimethylamine-Sulfur Dioxide Complex // J. Phys. Chem. – 1991. – Vol. 95, N 19. – P. 7211–7216. <http://dx.doi.org/10.1021/j100172a022>
69. Structure and Dynamics of Solutions. Ed. H. Ohtaki, H. Yamatera. // Stud. Phys. Theor. Chem. – 1992. – Vol. 79. – P.16. <http://dx.doi.org/10.1016/c2009-0-10162-9>
70. Chemical Processes with Participation of Biological and Related Compounds. // Biophysical and Chemical Aspects of Porphyrins, Pigments, Drugs, Biodegradable Polymers and Nanofibers. Ed. T.N. Lomova, G.E. Zaikov. Leiden-Boston (Netherland): Brill, 2008. – P. 194.
71. Нікітін В.І., Карпинчик В.А., Мохамед Р.А., Гельмольдт В.О. Синтез, ИК-спектры и термохимические характеристики аддуктов оксида серы (IV) с ариламинами // Журн. неорг. хімии. – 1996. – Т.41, № 2. – С. 283–286.

72. Сохраненко Г.П., Никитин В.И., Карпинчик В.А., Мохамед Рамадан Исследование процессов взаимодействия оксида серы (IV) с ароматическими аминами // Изв. ВУЗов. Химия и хим. технол. – 1994. – Т. 37, № 2. – С. 20-24.
73. Pradeep T., Sreekanth C.S., Hegde M.S., Rao C.N.R. Experimental electronic structures of sulfur dioxide complexes: an electron spectroscopic study // J. Am. Chem. Soc. – 1989. – Vol. 111, N 14. – P. 5058–5063. <http://dx.doi.org/10.1021/ja00196a006>
74. Kanamueller J.M. Sulfur dioxide adducts of some disubstituted hydrazines // J. Inorg. Nucl. Chem. – 1971. – Vol. 33, N 12 – P. 4051-4055. [http://dx.doi.org/10.1016/0022-1902\(71\)80503-1](http://dx.doi.org/10.1016/0022-1902(71)80503-1)
75. Keller J.W. Sulfur Dioxide–Pyridine Dimer. FTIR and Theoretical Evidence for a Low-Symmetry Structure // J. Phys. Chem. A. – 2015. – Vol. 119, N 41. – P. 10390–10398. <http://dx.doi.org/10.1021/acs.jpca.5b06122>
76. Maier N., Schiewe J., Matschiner H., Maschmeier C.-P., Boese R. Zur Struktur Von Sek. Amin- SO_2 -komplexen // Phosphorus Sulfur. – 1994. – Vol. 91, N 1-4. – P.179-188. <http://dx.doi.org/10.1080/10426509408021944>
77. Shannon M.S., Irvin A.C., Liu H., Moon J.D., Hindman M.S., Turner C.H., Bara J.E. Chemical and Physical Absorption of SO_2 by N-Functionalized Imidazoles: Experimental Results and Molecular-level Insight // Ind. Eng. Chem. Res. – 2015. – Vol. 54, N 1. – P. 462–471. <http://dx.doi.org/10.1021/ie503752h>
78. Сохраненко Г.П., Никитин В. И., Карпинчик В.А., Березина Л.П. О взаимодействии в трехкомпонентных системах SO_2 – *n*-азидин – $\text{C}_2\text{H}_5\text{OH}$ и SO_2 – 5,6-бензохинолин – $\text{C}_2\text{H}_5\text{OH}$ при 20°С. // Изв. Вузов. Химия и хим. технол. – 1999. – Т. 42, № 6. – С. 33–36.
79. Steudel R., Steudel Y. Charge-Transfer Complexes between the Sulfur Molecules SO_2 , S_2O , S_3 , SONH , and SOCl_2 and the Amine Donors NH_3 and NMe_3 – A Theoretical Study // Eur. J. Inorg. Chem. – 2007. – Vol. 2007, N 27. – P. 4385–4392. <http://dx.doi.org/10.1002/ejic.200700399>
80. Сохраненко Г.П., Березина Л.П., Карпинчик В.А., Никитин В.И. Комплексообразование оксида серы (IV) с гексаметилендиамином // Журн. неорг. химии. – 1992. – Т. 37, № 10. – С. 2265–2268.
81. Martial L., Bischoffl. Stoichiometric Release of SO_2 from Adducts: Application to the Direct Synthesis of Protected Dienes Source // Synlett. – 2015. – Vol. 26, N 9. – P. 1225-1229. <http://dx.doi.org/10.1055/s-0034-1380508>
82. Childs J.D., Helm D.V., Christian S.D. Amine-sulfur dioxide complexes. Structure of N,N,N',N'' -tetramethyl-p-phenylenediamine-bis(sulfur dioxide) // Inorg. Chem. – 1975. – Vol. 14, N 6. – P. 1386–1390. <http://dx.doi.org/10.1021/ic50148a036>
83. Woolven H., González-Rodríguez C., Marco I., Thompson A.L., Willis M.C. DABCO-Bis(sulfur dioxide), DABSO, as a Convenient Source of Sulfur Dioxide for Organic Synthesis: Utility in Sulfonamide and Sulfamide Preparation // Org. Lett. – 2011. – Vol. 13, N 18. – P. 4876-4878. <http://dx.doi.org/10.1021/o1201957n>
84. Huang K., Xia S., Zhang X.-M., Chen Y.-L., Wu Y.-T., Hu X.-B. Comparative Study of the Solubilities of SO_2 in Five Low Volatile Organic Solvents (Sulfolane, Ethylene Glycol, Propylene Carbonate, N-Methylimidazole, and N-Methylpyrrolidone) // J. Chem. Eng. Data. – 2014. – Vol. 59, N 4. – P. 1202-1212. <http://dx.doi.org/10.1021/je4007713>
85. Сохраненко Г.П., Гавриленко М.И. Обобщение результатов исследований взаимодействий в трёхкомпонентных системах SO_2 – Ам – растворитель // Вісник ОНУ. Хімія. – 2006. – Т. 11, № 1. – С. 26-34.
86. Хома Р.Е. Кислотно-основна взаємодія діоксиду сульфуру з водними розчинами амідів: Афтограф дис.... канд. хим. наук: 02.00.01 / Одеса, 2005. – 21 с.
87. Хома Р.Е., Гельмбольдт В.О., Эннан А.А., Баумер В.Н., Цапко М.Д. Продукты взаимодействия в системе SO_2 – 2,2'-дипиридил – H_2O . Ван-дер-ваальсовы клатраты // Журн. общей химии. – 2016. – Т. 86, № 8. – С. 1471-1476.
88. Хома Р.Е., Шестака А.А., Гельмбольдт В.О. Взаимодействие оксида серы (IV) с 2-имидалидоном и биуретом в водных растворах // Вісник ОНУ. Хімія. – 2009. – Т.14, № 11. – С. 62-70.
89. Хома Р.Е. Состав и относительная устойчивость продуктов комплексообразования в системах «оксид серы (IV) – амид – вода» // Вісник ОНУ. Хімія. – 2012. – Т. 17, № 2. – С. 49-57. [http://dx.doi.org/10.18524/2304-0947.2012.2\(42\).31998](http://dx.doi.org/10.18524/2304-0947.2012.2(42).31998)
90. Santos P.S., Lieder R. On the interaction of hexamethylenetetramine and sulfur dioxide // J. Mol. Struct. – 1986. – Vol. 144, N 1-2. – P. 39-45. [http://dx.doi.org/10.1016/0022-2860\(86\)80165-X](http://dx.doi.org/10.1016/0022-2860(86)80165-X)
91. Патент України на корисну модель УА 59830, МПК C07C 309/00, 309/15. Спосіб одержання амінометансульфонової кислоти / Хома Р.Е., Шестака О.О., Короева Л.В., Еннан А.А., Гельмбольдт В.О. – Заявл. 15.11.2010; Опубл. 10.05.2011, Бюл. № 9.
92. Хома Р.Е., Шестака А.А., Шишкін О.В., Баумер В.Н., Брусиловський Ю.Э., Короева Л.В., Еннан А.А., Гельмбольдт В.О. Особенности взаимодействия в системе оксид серы(IV) – гексаметиленететрамин – вода. Первый пример идентификации продукта со связью сера–углерод // Журн. общ. химии. – 2011. – Т. 81, № 3. – С. 525-526. <http://dx.doi.org/10.1134/S1070363211030352>

93. Березіна Л.П., Нікітін В.І., Сохраненко Г.П. Визначення складу і стійкості комплексів оксиду сірки (IV) з етаноламінами в неводних і водних середовищах // Вісник ОДУ. Природничі науки. – 1998. – № 2. – С. 16–18.
94. Когтєв С.Е., Блохін П.В., Ксандроў Н.В., Борисенко А.С. Извлечение диоксида серы из газовых выбросов аминосодержащими сорбентами // Журн. прикл. химии. – 1999. – Т. 72, № 10. – С. 1682-1684.
95. Блохін П.В., Когтєв С.Е., Петров С.В., Обливина Т.А. Очистка газовых выбросов от диоксида серы раствором метилдиэтаноламина // Журн. прикл. химии. – 2000. – Т. 73, № 8. – С. 1344-1346.
96. Yang D., Hou M., Ning H., Zhang J., Ma J., Han B. Efficient SO₂ capture by amine functionalized PEG // Phys. Chem. Chem. Phys. – 2013. – Vol. 15, N 41. – P. 18123-18127. <http://dx.doi.org/10.1039/C3CP52911H>
97. Tailor R., Sayari A. Grafted propylidethanolamine for selective removal of SO₂ in the presence of CO₂ // Chem. Eng. J. – 2016. – Vol. 289. – P. 142-149. <http://dx.doi.org/10.1016/j.cej.2015.12.084>
98. Ford T.A. Ab initio molecular orbital calculations of the structures and vibrational spectra of some molecular complexes containing sulphur dioxide // J. Mol. Struct. – 2009. – Vol. 924–926. – P. 466–472. <http://dx.doi.org/10.1016/j.molstruc.2008.10.007>
99. Mingos D.M.P. A theoretical analysis of ambivalent and ambiphilic Lewis acid/bases with symmetry signatures // Coord. Chem. Rev. – 2014. – Vol. 293. – P. 2-18. <http://dx.doi.org/10.1016/j.ccr.2014.11.009>
100. Shim J.-G., Jhon Y.-H., Kim J.-H., Jang K.-R., Kim J.-H. Computational Studies on the Sulfur Dioxide Absorption by Organic Lewis Bases // Bull. Korean Chem. Soc. – 2007. – Vol. 28, N 9. – P. 1609-1612. <http://dx.doi.org/10.5012/bkcs.2007.28.9.1609>
101. Helm D., Childs J.D., Christian S.D. The geometry of the charge transfer complex (CH₃)₃N·SO₂ in the solid state // J. Chem. Soc. D. – 1969. – N 15. – P. 887-888. <http://dx.doi.org/10.1039/C29690000887>
102. Oh J.J., LaBarge M.S., Matos J., Kampf J.W., Hillig II K.W., Kuczkowski R.L. Structure of the trimethylamine-sulfur dioxide complex // J. Am. Chem. Soc. – 1991. – Vol. 113, N 13. – P. 4732–4738. <http://dx.doi.org/10.1021/ja00013a003>
103. Singh U.C., Kollman P.A. Ab initio calculations on the structure and nature of the hydrogen bonded complex H₂S···HF // J. Chem. Phys. – 1984. – Vol. 80. – P. 353-355. <http://dx.doi.org/10.1063/1.446454>
104. Taleb-Bendiab A., Hillig II K.W., Kuczkowski R.L. Microwave spectrum of benzene·SO₂: Barrier to internal rotation, structure, and dipole moment // J. Chem. Phys. – 1992. – Vol. 97, N 5. – P. 2996-3006. <http://dx.doi.org/10.1063/1.463041>
105. Toužín J., Neplechová K., Žák Z., Černík M. Syntheses and structures of donor–acceptor complexes of selenium dioxide with pyridine and trimethylamine // Collect. Czech. Chem. Commun. – 2002. – Vol. 67. – P. 577-586.
106. Smith M.B. March's Advanced Organic Chemistry: Reactions, Mechanisms, and Structure. Wiley: New York, 2013. – 2080 p.
107. Faria D.L.A., Santos P.S. Raman and infrared spectra of some aromatic amine–sulphur dioxide molecular complexes // J. Raman Spectrosc. – 1988. – Vol. 19, N 7. – P. 471–478. <http://dx.doi.org/10.1002/jrs.1250190708>
108. Gao F., Zhang J., Niu Y., Wei X. Desorption Property and Spectral Investigation of Dilute Sulfur Dioxide in Ethylene Glycol + N,N-Dimethylformamide System // Ind. Eng. Chem. Res. – 2014. – Vol. 53, N 19. – P. 7871-7876. <http://dx.doi.org/10.1021/ie500427m>
109. Batsanov S.S. Van der Waals Radii of Elements // Inorg. Mater. – 2001. – Vol. 37, N 9. – P. 871–885. <http://dx.doi.org/10.1023/A:1011625728803>
110. Cordero B., Gómez V., Platero-Prats A.E., Revés M., Echeverría J., Cremades E., Barragán F., Alvarez S. Covalent radii revisited // Dalton Trans. – 2008. – Vol. 21. – P. 2832–2838. http://dx.doi.org/10.1039/b801115j-Cordero_2008
111. Leopold K.R., Canagaratna M., Phillips J.A. Partially Bonded Molecules from the Solid State to the Stratosphere // Acc. Chem. Res. – 1997. – Vol. 30, N 2. – P. 57-64. <http://dx.doi.org/10.1021/ar950115l>
112. Fiacco D.L., Toro A., Leopold K.R. Structure, Bonding, and Dipole Moment of (CH₃)₃N-SO₃. A Microwave Study // Inorg. Chem. – 2000. – Vol. 39, N 1. – P. 37–43. <http://dx.doi.org/10.1021/ic990925j>
113. Mo Y., Gao J. Polarization and Charge-Transfer Effects in Lewis Acid–Base Complexes // J. Phys. Chem. A. – 2001. – Vol. 105, N 26. – P. 6530–6536. <http://dx.doi.org/10.1021/jp010348w>
114. Post B., Schwartz R.S., Fankuchen I. The crystal structure of sulfur dioxide // Acta Cryst. – 1952. – Vol. 5, N 3. – P. 372-374. <http://dx.doi.org/10.1107/S0365110X5200109X>
115. Morino Y., Tanimoto M., Saito S. Critical Survey of the Molecular Structure Determination by the Use of Spectroscopic Data for SO₂ // Acta. Chem. Scand. – 1988. – Vol. 19, N 46. – P. 346-351. <http://dx.doi.org/10.3891/acta.chem.scand.42a-0346>
116. Hunter E.P.L., Lias S.G. Evaluated Gas Phase Basicities and Proton Affinities of Molecules: An Update // J. Phys. Chem. Ref. Data. – 1998. – Vol. 27, N 3. – P. 413-656. <http://dx.doi.org/10.1063/1.556018>

117. Ромм И.П., Носков Ю.Г., Мальков А.А. Прочность и длина донорно-акцепторных связей в молекулярных комплексах // Известия РАН. Серия химическая. – 2007. – № 10. – С. 1869–1878.
118. Гурянова Е.Н., Гольдштейн И.П., Ромм И.П. Донорно-акцепторная связь. М.: Химия, 1973. – 400 с.
119. Лихтенштейн Г.И. Компенсационный эффект // Химическая энциклопедия / Под ред. Зефирова Н.С. Т. 2. М.: Советская энциклопедия, 1990. – С. 868.
120. Starikov E.B. Norden B. Entropy-enthalpy compensation as a fundamental concept and analysis tool for systematical experimental data // Chem. Phys. Lett. – 2012. – Vol. 538. – P. 118–120. <http://dx.doi.org/10.1016/j.cplett.2012.04.028>
121. Хома Р.Е. Термодинамика диссоциации аминометансульфонокислоты и ее N-замещенных производных в водных растворах при 293–313 К // Журн. физ. химии. – 2017. – Т. 91, № 1.
122. Gardner C.L., Day R.W. Vapour pressure and thermodynamic data for the binary liquid mixture of pyridine and sulphur dioxide // Can. J. Chem. – 1984. – Vol. 62, N 5. – P. 986–989. <http://dx.doi.org/10.1139/v84-162>
123. Lorimer J.W., Smith B.C., Smith G.H. Total vapour pressures, thermodynamic excess functions and complex formation in binary liquid mixtures of some organic solvents and sulphur dioxide // J. Chem. Soc., Faraday Trans. 1. – 1975. – Vol. 71. – P. 2232–2250. <http://dx.doi.org/10.1039/F19757102232>
124. Zipp A.P. Formation thermodynamics of aniline-SO₂ adducts // J. Inorg. Nucl. Chem. – 1974. – Vol. 36, N 6. – P. 1399–1402. [http://dx.doi.org/10.1016/0022-1902\(74\)80086-2](http://dx.doi.org/10.1016/0022-1902(74)80086-2)
125. Benoit R.L., Milanova E. Vapour pressure and calorimetric data for the solution of sulfur dioxide in aprotic solvents // Can. J. Chem. – 1979. – Vol. 57, N 11. – P. 1319–1323. <http://dx.doi.org/10.1139/v79-215>
126. Woods A.S., Ferré S. Amazing Stability of the Arginine–Phosphate Electrostatic Interaction // J. Proteome Res. – 2005. – Vol. 4, N 4. – P. 1397–1402. <http://dx.doi.org/10.1021/pr050077s>
127. Grundnes J., Christian S.D. Solvent Effects on Strong Charge-Transfer Complexes. I. Trimethylamine and Sulfur Dioxide in Gas and in Heptane // J. Am. Chem. Soc. – 1968. – Vol. 90, N 9. – P. 2239–2245. <http://dx.doi.org/10.1021/ja01011a006>
128. Grundnes J., Christian S.D., Cheam V., Farnham S.B. Solvent Effects on Strong Charge-Transfer Complexes. IV. Trimethylamine and Sulfur Dioxide in the Vapor Phase // J. Am. Chem. Soc. – 1971. – Vol. 93, N 1. – P. 20–23. <http://dx.doi.org/10.1021/ja00730a003>
129. Grundnes J., Christian S.D. Solvent Effects on Strong Charge Transfer Complexes. III. Trimethylamine and Sulphur Dioxide in Polar Solvents. // Acta Chem. Scand. – 1969. – Vol. 23, N 10. – P. 3583–3585. <http://dx.doi.org/10.3891/acta.chem.scand.23-3583>
130. Kuczkowski R.L., Taleb-bendiab A. Tunneling motions in sulfur dioxide complexes // Structures and Conformations of Non-Rigid Molecules. – 1993. – Vol. 410. – P. 257–276. http://dx.doi.org/10.1007/978-94-011-2074-6_13
131. Бицоп Р., Крэйг Д.К., Дэнс Я.Д., Скуддер М.Л., Уиг А.Т. Взаимопроникающие решетки включения: сравнение – гидрохинона и эллипсоидальных клатратных структур. // Журн. структ. химии. – 1999. – Т. 40, № 5. – С. 822–831.
132. Huss A. J., Eckert C.A. Equilibria and ion activities in aqueous sulfur dioxide solutions // J. Phys. Chem. – 1977. – Vol. 81, N 24. – P. 2268–2270. <http://dx.doi.org/10.1021/j100539a015>
133. Martell A.E., Smith R.M. Critical stability constants. Vol. 6: Second Supplement. New York: Plenum Press, 1989. – 660 p.
134. Хома Р.Е., Гельмбольдт В.О., Короева Л.В., Эннан А.А., Мазепа А.В., Брусиловский Ю.Э. Спектральные характеристики продуктов взаимодействия оксида серы (IV) с водными растворами этаноламинов // Вопросы химии и хим. технол. – 2012. – № 1. – С. 133–136.
135. Хома Р.Е., Эннан А.А., Мазепа А.В., Гельмбольдт В.О. Спектральные характеристики продуктов взаимодействия оксида серы (IV) с водными растворами N-алкилированных производных моноэтаноламина // Вопросы химии и хим. технол. – 2013. – № 1. – С. 136–138.
136. Хома Р.Е., Гельмбольдт В.О., Шишкин О.В., Баумер В.Н., Пузан А.Н., Эннан А.А., Ракипов И.М. Синтез и строение моногидрата сульфита N-(гидроксигидрооксиэтил)тилендиаммония // Журн. неорган. химии. – 2014. – Т. 59, № 6. – С. 716–719. <http://dx.doi.org/10.7868/S0044457X14060099>
137. Хома Р.Е., Гельмбольдт В.О., Баумер В.Н., Шишкин О.В., Короева Л.В. Синтез и строение моногидрата сульфита аминогуанидиния // Журн. неорган. химии. – 2013. – Т. 58, № 7. – С. 950–954. <http://dx.doi.org/10.7868/S0044457X13070143>
138. Хома Р.Е., Эннан А.А., Гельмбольдт В.О., Шишкин О.В., Баумер В.Н. Синтез, кристаллическая структура, колебательные спектры и термохимические превращения сульфата три(оксиметил)аминометана // Журн. неорган. химии. – 2014. – Т. 59, № 1. – С. 60–65. <http://dx.doi.org/10.7868/S0044457X14010061>
139. Хома Р.Е., Эннан А.А., Шишкин О.В., Баумер В.Н., Гельмбольдт В.О. Продукты взаимодействия оксида серы(IV) с водными растворами гексаметилендиамина и трет-бутиламина. Кристаллическая струк-

- тура дигидрата сульфата гексаметилендиаммония // Журн. неорган. химии. – 2012. – Т. 57, № 12. – С. 1658-1661.
- 140.Хома Р.Е., Гельмбольдт В.О., Баумер В.Н., Пузан А.Н., Эннан А.А. Синтез и строение сульфата ментиламмония // Журн. неоган. химии. – 2015. – Т. 60, № 10. – С. 1315-1319. <http://dx.doi.org/10.7868/S0044457X15100104>
- 141.Хома Р.Е., Эннан А.А., Гельмбольдт В.О., Шишкин О.В., Баумер В.Н., Мазепа А.В., Брусиловский Ю.Э. Синтез и некоторые физико-химические свойства сульфатов бензиламмония // Журн. общей химии. – 2014. – Т. 84, № 4. – С. 557-561.
- 142.Belin C., Roziere J., Potier J. The Structure of 2,2'-Bipyridinium Bis(fluorosulfate) // Acta Cryst. 1981. – Vol. B37. – P. 1306-1309. <http://dx.doi.org/10.1107/S0567740881005761>
- 143.Bowen R.J., Fernandes M.A., Gitari P.W., Layh M. 2,2'-Bipyridinium(1+) bromide monohydrate // Acta Crystallogr C. – 2004. – Vol. C60(Pt 2). – P. o113-114. <http://dx.doi.org/10.1107/S0108270103028282>
- 144.Ma G., Ilyukhin A., Glaser J. 2,2'-Bipyridinium bis(perchlorate) // Acta Crystallogr. C. – 2000. – Vol. C56. – P. 1473-1475. <http://dx.doi.org/10.1107/S0108270100012452>

Стаття надійшла до редакції 24.08.2016

P. C. Хома^{1,2}, А. А.-А. Еннан²

¹Одеський національний університет імені І.І. Мечникова,

вул. Дворянська, 2, Одеса, Україна, 65082; email: rek@onu.edu.ua

²Фізико-хімічний інститут захисту навколошнього середовища і людини
МОН і НАН України, вул. Преображенська 3, Одеса, 65082, Україна

МОЛЕКУЛЯРНІ КОМПЛЕКСИ ОКСИДУ СІРКИ (IV) З N,O-ВМІСНИМИ ОРГАНІЧНИМИ ОСНОВАМИ (ОГЛЯД)

Систематизовано та узагальнено літературні дані щодо синтезу, стехіометрії, будови та відносної стійкості молекулярних комплексів оксиду сірки (IV) з N,O-вмісними органічними основами. Особливу увагу приділено механізмам утворення комплексів з переносом заряду, в яких реалізується S←N і S←O зв'язування, а також ван-дер-ваальсових комплексів. Відзначено кореляції між електронними, спектральними параметрами, будовою, відносною стійкістю і іншими характеристиками утворених сполук.

Ключові слова: оксид сірки (IV), N,O-вмісні органічні основи, комплекси з переносом заряду, ван-дер-ваальсові комплекси.

R. E. Khoma^{1,2}, A. A.-A. Ennan²

¹Odessa I.I. Mechnikov National University, Dvoryankaya str., 2, Odessa, 65082, Ukraine; rek@onu.edu.ua

²Physico-Chemical Institute of Environment and Human Protection, Preobrazhenskaya str., 3, Odessa, 65082, Ukraine; eksvar@ukr.net

MOLECULAR COMPLEXES OF SULPHUR DIOXIDE WITH N,O-CONTAINING ORGANIC BASES (REVIEW)

The literature data on the synthesis, stoichiometry, structure and relative stability of molecular complexes of sulphur dioxide with N,O-containing organic bases have been systematized and generalized. It was shown that the yield of the reaction product of sulfur dioxide with organic bases (such as amines) are strongly influenced by the conditions of synthesis: the nature of the solvent (basicity, polarity), the temperature and SO₂:L ratio in the reaction medium. The stoichiometry of SO₂:nL molecular complexes depends on ligand denticity, as well as its ability to H-bonding. The reaction of the sulfur oxide (IV) with organic bases can give S←N

and S←O complexes. With the increase of the value of base proton affinity the decrease Δr_{SN} values has been marked. Characteristic parameter $\Delta r_{\text{SN}} = r_{\text{SN}} - a_1(r_s + r_n)$ (where r_{SN} is the S←N donor-acceptor bond length) has been determined by microwave spectroscopy and X-ray analysis, r_s and r_n were the tabulated values of the homopolar covalent radii of sulphur and nitrogen heteroatoms.

The dependence of formation enthalpy of molecular complexes of basic amines and spectral characteristics has been noted; enthalpy-entropy compensation for S←N and S←O complexes has been stated. Despite the limited experimental data on the thermodynamics of complex formation and the lengths of donor-acceptor bonds for the same compounds it has been found bond S←N strength in SO_2 molecular complexes to depend on the intrinsic value of Δr_{SN} . The contribution of van der Waals forces and charge transfer forces to the formation of molecular complexes of sulphur dioxide has been stated.

Keywords: sulphur dioxide, N,O-containing organic bases, charge transfer complexes, van der Waals complexes.

REFERENCES

1. Wang X.-B., Du J.-B., Cui H. *Sulfur dioxide, a double-faced molecule in mammals*. Life Sci., 2014, vol. 98, no 2, pp. 63–67. <http://dx.doi.org/10.1016/j.lfs.2013.12.027>
2. Shallcross D.E. *Dirty air*. Educ. Chem., 2006, vol. 43, no 5, pp. 131–135.
3. Gelmboldt V.O., Khoma R.E., Ennan A.A. *Organic bases in the processes of catching and utilization of sulfur oxide (IV) (review)*. Jenergotekhnologii i resursosberezhenie, 2008, no 4, pp. 51–58. (in Russian)
4. Huang K., Lu J.-F., Wu Y.-T., Hu X.-B., Zhang Z.-B. *Absorption of SO_2 in aqueous solutions of mixed hydroxylammonium dicarboxylate ionic liquids*. Chem. Eng. J., 2013, vol. 215–216, pp. 36–44. <http://dx.doi.org/10.1016/j.cej.2012.10.091>
5. Hong S.Y., Kim H., Kim Y.J., Jeong J., Cheong M., Lee H., Kim H.S., Lee J.S. *Nitrile-functionalized tertiary amines as highly efficient and reversible SO_2 absorbents*. J. Hazard. Mater., 2014, vol. 264, pp. 136–143. <http://dx.doi.org/10.1016/j.jhazmat.2013.11.026>
6. Ennan A.A., Kats B.M. *Silicon Tetrafluoride Adducts*. Russ. Chem. Rev., 1974, vol. 43, no 7, pp. 539–550. <http://dx.doi.org/10.1070/RC1974v043n07ABEH001830>
7. Ennan A.A., Gelmboldt V.O., Gavrilova L.A. *Stereohimija i reakcionnaja sposobnost' fitorokompleksov kremnija*. Moscow, VINITI, 1989, 100 p. (in Russian)
8. Ennan A.A., Gelmboldt V.O. *Tetraftorid kremnija v reakcijah s organicheskimi osnovanijami*. Odessa, Ecology, 2005, 160 p. (in Russian)
9. Gelmboldt V.O. «*Onium» fluorosilicates: structures, properties, practical applications*. Odessa, Astroprint, 2012, 160 p. (in Russian)
10. Young N.A. *Main Group Coordination Chemistry at Low Temperatures: A Review of Matrix Isolated Group 12 to Group 18 Complexes*. Coord. Chem. Rev., 2013, vol. 257, no 5–6, pp. 956–1010. <http://dx.doi.org/10.1016/j.ccr.2012.10.013>
11. Mews R., Lork E., Watson P.G., Gortler B. *Coordination chemistry in and of sulfur dioxide*. Coord. Chem. Rev., 2000, vol. 197, pp. 277–320. [http://dx.doi.org/10.1016/S0010-8545\(99\)00191-5](http://dx.doi.org/10.1016/S0010-8545(99)00191-5)
12. Emmett E.J., Willis M.C. *The development and application of sulfur dioxide surrogates in synthetic organic chemistry*. Asian J. Org. Chem., 2015, vol. 4, no 7, pp. 602–611. <http://dx.doi.org/10.1002/ajoc.201500103>
13. Nikitin V.I. *On interaction of nitrogen-containing organic bases with sulfur dioxide*. Visn. Odes. nac. univ., Him., 2003, vol. 8, no 4, pp. 200–211. (in Russian)
14. Khoma R.E., Nikitin V.I., Sokhranenko G.P., Gavrilenko M.I. *SO_2 acid-base interaction with aqueous solutions of nitrogen-containing compounds (review)*. Visn. Odes. nac. univ., Him., 2002, vol. 6, no 8, pp. 176–193. (in Ukrainian)
15. Bae S.C., Son H.S., Kim G.H., Ku J.K. *Vibronic Relaxation among the Clements Bands of SO_2 from the E-Band Excitation*. J. Phys. Chem. A., 1999, vol. 1–3, pp. 7432–7436. <http://dx.doi.org/10.1021/jp990390f>
16. Guantes R., Farantos S.C. *High order finite difference methods algorithms for solving Schrödinger equation in molecular dynamics. II Periodic variables*. J. Chem. Phys., 2000, vol. 113, no 23, pp. 10429–10437. <http://dx.doi.org/10.1063/1.1324004>
17. Prosmiti R., Farantos S.C., Guo H. *Assigning the transition from normal to local vibrational mode in SO_2 by periodic orbits*. Chem. Phys. Lett., 2000, no 311, pp. 241–247. [http://dx.doi.org/10.1016/s0009-2614\(99\)00850-7](http://dx.doi.org/10.1016/s0009-2614(99)00850-7)

18. Cooper G., Zarate E.B., Jones R.K., Brion C.E. *Absolute oscillator strengths for photoabsorption, photoionization and ionic photofragmentation of sulphur dioxide. I. The valence shell.* Chem. Phys., 1991, vol. 150, no 2, pp. 237-250. [http://dx.doi.org/10.1016/0301-0104\(91\)80132-2](http://dx.doi.org/10.1016/0301-0104(91)80132-2)
19. Singh P.J., Shastri A., D'Souza R., Bhaskara Rao S.V.N., Jagatap B.N. *VUV photoabsorption spectroscopy of sulphur dioxide in the 1400-1600 Å region: Vibronic analysis of the E-X system* J. Quant. Spectrosc. Radiat. Transfer., 2012, vol. 113, no 4, pp. 267-278. <http://dx.doi.org/10.1016/j.jqsrt.2011.11.007>
20. Gillespie R.J., Hargittai I. *The VSEPR Model of Molecular Geometry.* Boston, Allyn&Bacon, 2012, 260 p.
21. Khoma R.E., Gavrilenko M.I., Nikitin V.I. *Semiempirical Researches of Interaction of Sulfur Dioxide with Urea in Water by Monte-Carlo Method.* Visn. Odes. nac. univ., Him., 2004, vol. 9, no 2, pp. 28-45. (in Ukrainian)
22. Li S., Kurtz H., Korambath P., Li Y.-S. *Infrared spectra, photochemistry, and ab initio calculations of matrix isolated methanethiol/sulfur dioxide complex.* J. Mol. Struct., 2000, vol. 550-551, pp. 235-244. [http://dx.doi.org/10.1016/S0022-2860\(00\)00520-2](http://dx.doi.org/10.1016/S0022-2860(00)00520-2)
23. Risberg E.D., Eriksson L., Mink J., Pettersson L.G.M., Skripkin M.Yu., Sandström M. *Sulfur X-ray Absorption and Vibrational Spectroscopic Study of Sulfur Dioxide, Sulfite, and Sulfonate Solutions and of the Substituted Sulfonate Ions X₃CSO₃⁻ (X = H, Cl, F).* Inorg. Chem., 2007, vol. 46, no 20, pp. 8332-8348. <http://dx.doi.org/10.1021/ic0624401>
24. Magnusson E. *Hypercoordinate molecules of second-row elements: d functions or d orbitals?* J. Am. Chem. Soc., 1990, vol. 112, no 22, pp. 7940-7951. <http://dx.doi.org/10.1021/ja00178a014>
25. Schenk W.A. *Sulfur Oxides as Ligands in Coordination Compounds.* Angew. Chem. Int. Edn. Engl. 1987, vol. 26, pp. 98-109. <http://dx.doi.org/10.1002/chin.198724352>
26. Pearson R.G. *Hard and soft acids and bases – the evolution of a chemical concept.* Coord. Chem. Rev., 1990, vol. 100, pp. 403-425. [http://dx.doi.org/10.1016/0010-8545\(90\)85016-L](http://dx.doi.org/10.1016/0010-8545(90)85016-L)
27. Larson J.W., McMahon T.B. *Fluoride and chloride affinities of main group oxides, fluorides, oxofluorides, and alkyls. Quantitative scales of Lewis acidities from ion cyclotron resonance halide-exchange equilibria.* J. Am. Chem. Soc., 1985, vol. 107, no 4, pp. 766-773. <http://dx.doi.org/10.1002/chin.198527075>
28. Brinkmann N.R., Tschumper G.S., Schaefer III H.F. *Electron affinities of the oxides of aluminum, silicon, phosphorus, sulfur, and chlorine.* J. Chem. Phys., 1999, vol. 110, no 13, pp. 6240-6245. <http://dx.doi.org/10.1063/1.478528>
29. Laurence C., Gal J.-F. *Lewis Basicity and Affinity Scales: Data and Measurement.* John Wiley & Sons Ltd, 2010, 476 p. <http://dx.doi.org/10.1002/9780470681909>
30. Vogel G.C., Drago R.S. *The ECW Model.* J. Chem. Educ., 1996, vol. 73, no 8, pp. 701-707. <http://dx.doi.org/10.1021/ed073p701>
31. Adams W.A., Kruus P., Patraboy T.J. *The system sulfur dioxide – N-methyl-2-pyrrolidinone.* Can. J. Chem./Rev. Can. Chim., 1983, vol. 61, no 1, pp. 37-44. <http://dx.doi.org/10.1139/v83-007>
32. Hartel G.H. *Low-Volatility Polar Organic Solvents for Sulfur Dioxide, Hydrogen Sulfide, and Carbonyl Sulfide.* J. Chem. Eng. Data., 1985, vol. 30, no 1, pp. 57-61. <http://dx.doi.org/10.1021/je00039a019>
33. Gill J.B., Goodall D.C., Jeffreys B., Gans P. *Reactions in mixed non-aqueous solutions containing sulphur dioxide. Part 7. A Raman spectroscopic study of adduct formation between sulphur dioxide and dimethyl sulfoxide.* J. Chem. Soc., Dalton Trans., 1986, no 12, pp. 2597-2602. <http://dx.doi.org/10.1039/dt9860002597>
34. Gill J.B., Goodall D.C., Jeffreys B. *Reactions in mixed non-aqueous solutions containing sulphur dioxide. Part 8. Phase studies of sulphur dioxide-dimethyl sulfoxide and sulphur dioxide-dimethylformamide mixtures.* J. Chem. Soc., Dalton Trans., 1986, no 12, pp. 2603-2605. <http://dx.doi.org/10.1039/dt9860002603>
35. Faria D.L.A., Santos P.S. *¹³C NMR Spectra of some Sulphur Dioxide-Aromatic Amine Complexes.* Magn. Reson. Chem., 1987, vol. 25, no 7, pp. 592-593. <http://dx.doi.org/10.1002/mrc.1260250708>
36. Demyanovich R.J., Lynn S. *Vapor-Liquid Equilibria of Sulfur Dioxide in Polar Organic Solvents.* Ind. Eng. Chem. Res., 1987, vol. 26, no 3, pp. 548-555. <http://dx.doi.org/10.1021/ie00063a022>
37. Sciamanna S.F., Lynn S. *Solubility of Hydrogen Sulfide, Sulfur dioxide, Carbon Dioxide, and n-Butane in Poly(glycol ethers).* Ind. Eng. Chem. Res., 1988, vol. 27, pp. 492-499.
38. Dam M.H.H., Lamine A.S., Roizard D., Lochon P., Roizard C. *Selective Sulfur Dioxide Removal using Organic solvents.* Ind. Eng. Chem. Res., 1997, vol. 36, no 11, pp. 4628-4637. <http://dx.doi.org/10.1021/ie970111f>
39. Kermadec R., Lapoicque F., Roizard D., Roizard C. *Characterization of the SO₂-N-Formylmorpholine Complex: Application to a Regenerative Process for Waste Gas Scrubbing.* Ind. Eng. Chem. Res., 2002, vol. 41, no 2, pp. 153-163. <http://dx.doi.org/10.1021/ie010173c>
40. Nagel D., Kermadec R., Lintz H.G., Roizard C., Lapoicque F. *Absorption of sulfur dioxide in N-formylmorpholine: investigations of the kinetics of the liquid phase reaction.* Chem. Eng. Sci., 2002, vol. 57, no 22-23, pp. 4883-4893. [http://dx.doi.org/10.1016/s0009-2509\(02\)00283-x](http://dx.doi.org/10.1016/s0009-2509(02)00283-x)

41. Heldebrant D.J., Yonker C.R., Jessop P.G., Phan L. *Reversible Uptake of COS, CS₂, and SO₂: Ionic Liquids with O-Alkylxanthate, O-Alkylthiocarbonyl, and O-Alkylsulfite Anions*. Chem. Eur. J., 2009, vol. 15, no 31, pp. 7619-7627. <http://dx.doi.org/10.1002/chem.200802602>
42. Heldebrant D.J., Koech P.K., Yonker C.R. *A reversible zwitterionic SO₂-binding organic liquid*. Energy Environ. Sci., 2010, vol. 3, no 1, pp. 111-113. <http://dx.doi.org/10.1039/B916550A>
43. Ando R.A., Matazo D.R.C., Santos P.S. *Detailed analysis of the charge transfer complex N,N-dimethylaniline-SO₂ by Raman spectroscopy and density functional theory calculations*. J. Raman Spectrosc., 2010, vol. 41, no 7, pp. 771-775. <http://dx.doi.org/10.1002/jrs.2514>
44. Nagai T., Katayama K., Tokura N. *Electron transfer from amines to liquid sulfur dioxide*. Chem. Lett., 1973, vol. 2, no 8, pp. 919-922. <http://doi.org/10.1246/cl.1973.919>
45. Wu K.T., Yencha A.J. *Rate processes and nuclear magnetic resonance spectra of amine-SO₂ complexes + H₂O in liquid SO₂*. Can. J. Chem., 1981, vol. 59, no 1, pp. 8-13. <http://dx.doi.org/10.1139/v81-002>
46. Ramadan A.M. *Sintez i fiziko-himicheskie issledovaniya produktov vzaimodejstvija oksida sery (IV) s aromaticheskimi i heterociklicheskimi azotsoderzhashhimi osnovanijami*. Diss. Candidate of Chemical Sciences, Odessa, 1994, 121 p.
47. Kurando S.V. *Koordinacionnye soedinenija oksidov sery (IV) i (VI) s azotsoderzhashhimi organicheskimi osnovanijami*. Diss. Candidate of Chemical Sciences, Odessa, 1995, 130 p.
48. Kurando S.V., Nikitin V.I. *The adducts of sulfur dioxide with alkylamines*. Visn. Odes. nac. univ., Him., 2002, vol. 6, no 7, pp. 94-99.
49. Ennan A.A., Nikitin V.I., Gudimovich T.F., Berezina L.P., Tikhonenko L.M. *Komplekssoobrazovanie oksida sery (IV) s p, o-toluidinom*. Zhurn. neorgan. himii, 1989, vol. 34, no 3, pp. 783-786. (in Russian)
50. Mokhamed R.A., Nikitin V.I., Karpinchik V.A. *Issledovanie vzaimodejstvija oksida sery (IV) s piridinom i izomernymi pikolinami*. Zhurn. neorgan. himii, 1993, vol. 38, no 4, pp. 621-624. (in Russian)
51. Nikitin V.I., Sokhranenko G.P., Karpinchik V.A., Mokhamed R.A. *Komplekssoobrazovanie oksida sery (IV) c 4,4'-dipiridilom*. Izv. VUZov. Khimija i khim. tehnol., 1994, vol. 37, no 1, pp. 30-34. (in Russian)
52. Berezina L.P., Nikitin V.I., Sokhranenko G.P., Samojlenko G.V. *Vpliv etilenglikolju i sorbitu na fiziko-himichni vlastivosti etanolaminiv*. Visn. Odes. nac. univ., Him., 2000, vol. 5, no 2, pp. 3-8. (in Russian)
53. Nikitin V.I., Khoma R.E., Gavrilenko M.I. *Potentiometric studies on sulfur dioxide sorption by aqueous carbamide solution*. Izv. VUZov. Khimija i khim. tehnol., 2000, vol. 43, no 2, pp. 14-16. (in Russian)
54. Khoma R.E., Nikitin V.I., Gavrilenko M.I. *pH-metric investigation of sulfur dioxide sorption by 0.1 M urea solution*. Izv. VUZov. Khimija i khim. tehnol., 2001, vol. 44, no 6, pp. 42-44. (in Russian)
55. Kurando S.V., Nikitin V.I. *Synthesis and physico-chemical studies on the products of the interaction of sulfur dioxide with benzylamines*. Visn. Odes. nac. univ., Him., 2002, vol. 6, no 6, pp. 164-168. (in Ukrainian)
56. Khoma R.E., Nikitin V.I., Gavrilenko M.I. *On reaction of sulfur dioxide with aqueous solutions of carbamide*. Russ. J. Appl. Chem., 2003, vol. 76, no 4, pp. 513-517.
57. Khoma R.E., Gavrilenko M.I., Nikitin V.I. *A study of complexation in the system constituted by water, carbamide, and sulfur dioxide at 293 K*. Russ. J. Appl. Chem., 2004, vol. 77, no 8, pp. 1249-1254.
58. Khoma R.E., Gavrilenko M.I., Nikitin V.I. *Interaction of Sulfur Dioxide with Aqueous Solutions of Amides*. Russ. J. Gen. Chem., 2005, vol. 75, no 5, pp. 727-733. <http://dx.doi.org/10.1007/s11176-005-0308-9>.
59. Dehghani H., Fathi F. *Molecular complexation of meso-tetraphenylporphyrins with SO₂*. Dyes Pigments., 2008, vol. 77, no 2, pp. 323-326. <http://dx.doi.org/10.1016/j.dyepig.2007.05.017>
60. Basu R.K., Dutta B.K. *Kinetics of absorption of sulfur dioxide in dimethylaniline solution*. Can. J. Chem. Eng., 1987, vol. 65, no 1, pp. 27-35. <http://dx.doi.org/10.1002/cjce.5450650106>
61. Wong M.W., Wiberg K.B. *Structures, Bonding, and Absorption Spectra of Amine – Sulfur Dioxide Charge-Transfer Complexes*. J. Am. Chem. Soc., 1992, vol. 114, pp. 7527-7535. <http://dx.doi.org/10.1021/ja00045a028>
62. Eigner A.A., Wrass J.P., Smith E.L., Knutson C.C., Phillips J.A. *Structural properties of CH₃CN-SO₂ in the gas phase and condensed-phase media via density functional theory and infrared spectroscopy*. J. Mol. Struct., 2009, vol. 919, no 1-3, pp. 312-320. <http://dx.doi.org/10.1016/j.molstruc.2008.09.024>
63. Ito F., Hirabayashi S. *Infrared spectroscopy of SO₂ clusters in rare gas matrices revisited: Assignment of species in Ar matrix*. Chem. Phys., 2009, vol. 358, no 3, pp. 209-218. <http://dx.doi.org/10.1016/j.chemphys.2009.02.007>
64. Phillips J.A., Britton D., Leopold K.R. *Gas-solid structure differences in the donor-acceptor complex (CH₃)₂HN-SO₂*. J. Chem. Crystallogr., 1996, vol. 26, no 8, pp. 533-538. <http://dx.doi.org/10.1007/BF01668411>
65. LaBarge M.S., Matos J., Hillig K.W., Kuczkowski R.L. *Microwave Spectrum and Structure of the Trimethylamine – Sulfur Dioxide Charge –Transfer Complex*. J. Am. Chem. Soc., 1987, vol. 109, pp. 7222-7223. <http://dx.doi.org/10.1021/ja00257a070>
66. Labarge M.S., Oh J.-J., Hillig II K.W., Kuczkowski R.L. *The benzene-SO₂ and pyridine-SO₂ complexes*. Chem. Phys. Lett., 1989, vol. 159, no 5-6, pp. 559-562. [http://dx.doi.org/10.1016/0009-2614\(89\)87532-3](http://dx.doi.org/10.1016/0009-2614(89)87532-3)

67. Oh J.J., Hillig II K.W., Kuczkowski R.L. *Microwave spectrum and structure of the pyridine-sulfur dioxide complex*. J. Am. Chem. Soc., 1991, vol. 113, no 20, pp. 7480–7484. <http://dx.doi.org/10.1021/ja00020a004>
68. Oh J.J., Hillig II K.W., Kuczkowski R.L. *Structure of the Dimethylamine-Sulfur Dioxide Complex*. J. Phys. Chem., 1991, vol. 95, no 19, pp. 7211-7216. <http://dx.doi.org/10.1021/j100172a022>
69. *Structure and Dynamics of Solutions*. Ed. H. Ohtaki, H. Yamatera. Stud. Phys. Theor. Chem., 1992, vol. 79, pp. 16. <http://dx.doi.org/10.1016/c2009-0-10162-9>
70. *Chemical Processes with Participation of Biological and Related Compounds*. Biophysical and Chemical Aspects of Porphyrins, Pigments, Drugs, Biodegradable Polymers and Nanofibers. Ed. T.N. Lomova, G.E. Zaikov. Leiden-Boston, Netherland, Brill, 2008, pp. 194.
71. Nikitin V.I., Karpinchik V.A., Mokhammed R.A., Gelmboldt V.O. *Synthesis, IR spectra, and thermochemical properties of sulfur(IV) oxide adducts with arylamines*. Zhurn. Neorgan. Khim., 1996, vol. 41, no 2, pp. 283–286. (in Russian)
72. Sohranenko G.P., Nikitin V.I., Karpinchik V.A., Mohamed Ramadan *Issledovanie processov vzaimodejstvija oksida sery (IV) s aromaticheskimi aminami*. Izv. VUZov. Khimija i khim. tehnol., 1994, vol. 37, no 2, pp. 20-24. (in Russian)
73. Pradeep T., Sreekanth C.S., Hegde M.S., Rao C.N.R. *Experimental electronic structures of sulfur dioxide complexes: an electron spectroscopic study*. J. Am. Chem. Soc., 1989, vol. 111, no 14, pp. 5058–5063. <http://dx.doi.org/10.1021/ja00196a006>
74. Kanamueller J.M. *Sulfur dioxide adducts of some disubstituted hydrazines*. J. Inorg. Nucl. Chem., 1971, vol. 33, no 12, pp. 4051-4055. [http://dx.doi.org/10.1016/0022-1902\(71\)80503-1](http://dx.doi.org/10.1016/0022-1902(71)80503-1)
75. Keller J.W. *Sulfur Dioxide-Pyridine Dimer. FTIR and Theoretical Evidence for a Low-Symmetry Structure*. J. Phys. Chem. A., 2015, vol. 119, no 41, pp. 10390–10398. <http://dx.doi.org/10.1021/acs.jpca.5b06122>
76. Maier N., Schiewe J., Matschiner H., Maschmeier C.-P., Boese R. *Zur Struktur Von Sek. Amin-SO₂-komplexen*. Phosphorus Sulfur, 1994, vol. 91, no 1-4, pp. 179-188. <http://dx.doi.org/10.1080/10426509408021944>
77. Shannon M.S., Irvin A.C., Liu H., Moon J.D., Hindman M.S., Turner C.H., Bara J.E. *Chemical and Physical Absorption of SO₂ by N-Functionalized Imidazoles: Experimental Results and Molecular-level Insight*. Ind. Eng. Chem. Res., 2015, vol. 54, no 1, pp. 462–471. <http://dx.doi.org/10.1021/ie503752h>
78. Sohranenko G.P., Nikitin V. I., Karpinchik V.A., Berezina L.P. *O vzaimodejstvii v treh-komponentnyh sistemah SO₂ – p-anizidin – C₂H₅OH i SO₂ – 5,6-benzohinolin-C₂H₅OH pri 20° C*. Izv. VUZov. Khimija i khim. tehnol., 1999, vol. 42, no 6, pp. 33–36. (in Russian)
79. Steudel R., Steudel Y. *Charge-Transfer Complexes between the Sulfur Molecules SO₂, S₂O, S₃, SONH, and SOCl₂ and the Amine Donors NH₃ and NMe₃ – A Theoretical Study*. Eur. J. Inorg. Chem., 2007, vol. 2007, no 27, pp. 4385–4392. <http://dx.doi.org/10.1002/ejic.200700399>
80. Sohranenko G.P., Berezina L.P., Karpinchik V.A., Nikitin V.I. *Kompleksoobrazovanie oksida sery (IV) s geksanmetilendiaminom*. Zhurn. Neorgan. Khim., 1992, vol. 37, no 10, pp. 2265-2268. (in Russian)
81. Martial L., Bischoff L. *Stoichiometric Release of SO₂ from Adducts: Application to the Direct Synthesis of Protected Dienes Source*. Synlett., 2015, vol. 26, no 9, pp. 1225-1229. <http://dx.doi.org/10.1055/s-0034-1380508>
82. Childs J.D., Helm D.V., Christian S.D. *Amine-sulfur dioxide complexes. Structure of N,N,N',N'-tetramethyl-p-phenylenediamine-bis(sulfur dioxide)*. Inorg. Chem., 1975, vol. 14, no 6, pp. 1386–1390. <http://dx.doi.org/10.1021/ic50148a036>
83. Woolven H., González-Rodríguez C., Marco I., Thompson A.L., Willis M.C. *DABCO-Bis(sulfur dioxide), DABSO, as a Convenient Source of Sulfur Dioxide for Organic Synthesis: Utility in Sulfonamide and Sulfamide Preparation*. Org. Lett., 2011, vol. 13, no 18, pp. 4876-4878. <http://dx.doi.org/10.1021/o1201957n>
84. Huang K., Xia S., Zhang X.-M., Chen Y.-L., Wu Y.-T., Hu X.-B. *Comparative Study of the Solubilities of SO₂ in Five Low Volatile Organic Solvents (Sulfolane, Ethylene Glycol, Propylene Carbonate, N-Methylimidazole, and N-Methylpyrrolidone)*. J. Chem. Eng. Data., 2014, vol. 59, no 4, pp. 1202-1212. <http://dx.doi.org/10.1021/je4007713>
85. Sokhranenko G.P., Gavrilenco M.I. *Generalization of the Results of Studies in Ternary Systems SO₂ – Am – Solvent*. Visn. Odes. nac. univ., Him., 2006, vol. 11, no 1, pp. 26-34. (in Russian)
86. Khoma R.E. *Acid-base interaction of sulfur dioxide with amides aqueous solutions*: thesis for the degree of Candidate of Chemical Sciences, Odessa, 2005, 21 p.
87. Khoma R.E., Gelmboldt V.O., Ennan A.A., Baumer V.N., Tsapko M.D. *Interaction Products in the System Sulfur Dioxide – 2,2'-Bipyridine – Water: Van der Waals Clathrates*. Russ. J. Gener. Chem., 2016, vol. 86, no 8, pp. 2237-2241. <http://dx.doi.org/10.1134/S1070363216090097>
88. Khoma R.E., Shestaka A.A., Gelmboldt V.O. *The interaction of sulphur dioxide with 2-imidazolidinone and biuret in aqueous solutions*. Visn. Odes. nac. univ., Him., 2009, vol.14, no 11, pp. 62-70. (in Russian)

89. Khoma R.E. *The composition and the relative stability of complexation products in «sulphur dioxide – amide – water» systems.* Visn. Odes. nac. univ., Him., 2012, vol. 17, no 2, pp. 49-57. [http://dx.doi.org/10.18524/2304-0947.2012.2\(42\).31998 \(in Russian\)](http://dx.doi.org/10.18524/2304-0947.2012.2(42).31998)
90. Santos P.S., Lieder R. On the interaction of hexamethylenetetramine and sulfur dioxide // J. Mol. Struct. – 1986. – Vol. 144, No 1–2. – P. 39-45. [http://dx.doi.org/10.1016/0022-2860\(86\)80165-X](http://dx.doi.org/10.1016/0022-2860(86)80165-X)
91. Khoma R.E., Shestaka A.A., Koroeva L.V., Ennan Gelmboldt V.O. *Process for the preparation of aminomethanesulfonic acid.* Patent UA, no 59830, 2011. (in Ukrainian)
92. Khoma R.E., Shestaka A.A., Shishkin O.V., Baumer V.N., Brusilovskii Yu.E., Koroeva L.V., Ennan A.A., Gelmboldt V.O. *Features of interaction in the sulfur(IV) oxide-hexamethylenetetramine-water system: A first example of identification of the product with a sulfur-carbon bond.* Rus. J. Gen. Chem. – 2011. – Vol. 81, No 3. – P. 620-621. <http://dx.doi.org/10.1134/S1070363211030352>
93. Berezina L.P., Nikitin V.I., Sohranenko G.P. *Vyznachennja skladu i stijkosti kompleksiv oksydru sirky (IV) z etanolaminami v nevodnyh i vodnyh seredovyshhah.* Visn. Odes. nac. univ., Prirodnihi nauki, 1998, no 2, pp. 16–18. (in Ukrainian)
94. Kogtev S.E., Blokhin P.V., Ksandrov N.V., Borisenco A.S. *Recovery of sulfur dioxide from discharged gases using amine-containing sorbents.* Russ. J. Appl. Chem., 1999, vol. 72, no 10, pp. 1777-1779.
95. Blokhin P.V., Kogtev S.E., Petrov A.V., Oblivina T.A. *Treatment of exhaust gases with methylidethanolamine solution to remove sulfur dioxide.* Russ. J. Appl. Chem., 2000, vol. 73, no 8, pp. 1417-1419.
96. Yang D., Hou M., Ning H., Zhang J., Ma J., Han B. *Efficient SO_2 capture by amine functionalized PEG.* Phys. Chem. Chem. Phys., 2013, vol. 15, no 41, pp. 18123-18127. <http://dx.doi.org/10.1039/C3CP52911H>
97. Tailor R., Sayari A. *Grafted propyldiethanolamine for selective removal of SO_2 in the presence of CO_2 .* Chem. Eng. J., 2016, vol. 289, pp. 142-149. <http://dx.doi.org/10.1016/j.cej.2015.12.084>
98. Ford T.A. *Ab initio molecular orbital calculations of the structures and vibrational spectra of some molecular complexes containing sulphur dioxide.* J. Mol. Struct., 2009, vol. 924–926, pp. 466–472. <http://dx.doi.org/10.1016/j.molstruc.2008.10.007>
99. Mingos D.M.P. *A theoretical analysis of ambivalent and ambiphilic Lewis acid/bases with symmetry signatures.* Coord. Chem. Rev., 2014, vol. 293, pp. 2-18. <http://dx.doi.org/10.1016/j.ccr.2014.11.009>
100. Shim J.-G., Jhon Y.-H., Kim J.-H., Jang K.-R., Kim J.-H. *Computational Studies on the Sulfur Dioxide Absorption by Organic Lewis Bases.* Bull. Korean Chem. Soc., 2007, vol. 28, no 9, pp. 1609-1612. <http://dx.doi.org/10.5012/bkcs.2007.28.9.1609>
101. Helm D., Childs J.D., Christian S.D. *The geometry of the charge transfer complex $(CH_3)_3N \cdot SO_2$ in the solid state.* J. Chem. Soc. D., 1969, no 15, pp. 887-888. <http://dx.doi.org/10.1039/C29690000887>
102. Oh J.J., LaBarge M.S., Matos J., Kampf J.W., Hillig II K.W., Kuczkowski R.L. *Structure of the trimethylamine-sulfur dioxide complex.* J. Am. Chem. Soc., 1991, vol. 113, no 13, pp. 4732–4738. <http://dx.doi.org/10.1021/ja00013a003>
103. Singh U.C., Kollman P.A. *Ab initio calculations on the structure and nature of the hydrogen bonded complex $H_2S \cdots HF$.* J. Chem. Phys., 1984, vol. 80, pp. 353-355. <http://dx.doi.org/10.1063/1.446454>
104. Taleb-Bendiab A., Hillig II K.W., Kuczkowski R.L. *Microwave spectrum of benzene- SO_2 : Barrier to internal rotation, structure, and dipole moment.* J. Chem. Phys., 1992, vol. 97, no 5, pp. 2996-3006. <http://dx.doi.org/10.1063/1.463041>
105. Toužín J., Neplechová K., Žák Z., Černík M. *Syntheses and structures of donor–acceptor complexes of selenium dioxide with pyridine and trimethylamine.* Collect. Czech. Chem. Commun., 2002, vol. 67, pp. 577-586.
106. Smith M.B. *March's Advanced Organic Chemistry: Reactions, Mechanisms, and Structure.* Wiley, New York, 2013, 2080 p.
107. Faria D.L.A., Santos P.S. *Raman and infrared spectra of some aromatic amine–sulphur dioxide molecular complexes.* J. Raman Spectrosc., 1988, vol. 19, no 7, pp. 471–478. <http://dx.doi.org/10.1002/jrs.1250190708>
108. Gao F., Zhang J., Niu Y., Wei X. *Desorption Property and Spectral Investigation of Dilute Sulfur Dioxide in Ethylene Glycol + *N,N*-Dimethylformamide System.* Ind. Eng. Chem. Res., 2014, vol. 53, no 19, pp. 7871-7876. <http://dx.doi.org/10.1021/ie500427m>
109. Batsanov S.S. *Van der Waals Radii of Elements.* Inorg. Mater., 2001, vol. 37, no 9, pp. 871–885. <http://dx.doi.org/10.1023/A:1011625728803>
110. Cordero B., Gómez V., Platero-Prats A.E., Revés M., Echeverría J., Cremades E., Barragán F., Alvarez S. *Covalent radii revisited.* Dalton Trans., 2008, vol. 21, pp. 2832–2838. http://dx.doi.org/10.1039/b801115jCordero_2008
111. Leopold K.R., Canagaratna M., Phillips J.A. *Partially Bonded Molecules from the Solid State to the Stratosphere.* Acc. Chem. Res., 1997, vol. 30, no 2, pp. 57-64. <http://dx.doi.org/10.1021/ar950115l>

112. Fiacco D.L., Toro A., Leopold K.R. *Structure, Bonding, and Dipole Moment of $(CH_3)_3N-SO_3$. A Microwave Study*. Inorg. Chem., 2000, vol. 39, no 1, pp. 37–43. <http://dx.doi.org/10.1021/ic990925j>
113. Mo Y., Gao J. *Polarization and Charge-Transfer Effects in Lewis Acid–Base Complexes*. J. Phys. Chem. A., 2001, vol. 105, no 26, pp. 6530–6536. <http://dx.doi.org/10.1021/jp010348w>
114. Post B., Schwartz R.S., Fankuchen I. *The crystal structure of sulfur dioxide*. Acta Cryst., 1952, vol. 5, no 3, pp. 372–374. <http://dx.doi.org/10.1107/S0365110X5200109X>
115. Morino Y., Tanimoto M., Saito S. *Critical Survey of the Molecular Structure Determination by the Use of Spectroscopic Data for SO_2* . Acta. Chem. Scand., 1988, vol. 19, no 46, pp. 346–351. <http://dx.doi.org/10.3891/acta.chem.scand.42a-0346>
116. Hunter E.P.L., Lias S.G. *Evaluated Gas Phase Basicities and Proton Affinities of Molecules: An Update*. J. Phys. Chem. Ref. Data., 1998, vol. 27, no 3, pp. 413–656. <http://dx.doi.org/10.1063/1.556018>
117. Romm I.P., Noskov Yu.G., Malkova A.A. *The strength and length of donor-acceptor bonds in molecular complexes*. Russ. Chem. Bull., Int. Ed., vol. 56, no 10, pp. 1935–1944. <http://dx.doi.org/10.1007/s11172-007-0300-0>
118. Guryanova E.N., Goldstein I.P., Romm I.P. *Donor-Acceptor Bond*. Wiley, New York, 1975, 366 pp.
119. Lihtenshtejn G.I. *Kompensacionnyj jeffekt*. Himicheskaja jenciklopedija. Pod red. Zefirova N.S. T. 2. Moscow, Sovetskaja jenciklopedija, 1990, pp. 868. (in Russian)
120. Starikov E.B. *Entropy-enthalpy compensation as a fundamental concept and analysis tool for systematical experimental data*. Chem. Phys. Lett., 2012, vol. 538, pp. 118–120. <http://dx.doi.org/10.1016/j.cplett.2012.04.028>
121. Khoma R.E. *Thermodynamics of the Dissociation of Aminomethanesulfonic Acid and its N-Substituted Derivatives in Aqueous Solutions at 293–313 K*. Russ. J. Phys. Chem., 2017, vol. 91, no 1, pp. 76–79. <http://dx.doi.org/10.1134/S0036024417010125>
122. Gardner C.L., Day R.W. *Vapour pressure and thermodynamic data for the binary liquid mixture of pyridine and sulphur dioxide*. Can. J. Chem., 1984, vol. 62, no 5, pp. 986–989. <http://dx.doi.org/10.1139/v84-162>
123. Lorimer J.W., Smith B.C., Smith G.H. *Total vapour pressures, thermodynamic excess functions and complex formation in binary liquid mixtures of some organic solvents and sulphur dioxide*. J. Chem. Soc., Faraday Trans. 1., 1975, vol. 71, pp. 2232–2250. <http://dx.doi.org/10.1039/F19757102232>
124. Zipp A.P. *Formation thermodynamics of aniline- SO_2 adducts*. J. Inorg. Nucl. Chem., 1974, vol. 36, no 6, pp. 1399–1402. [http://dx.doi.org/10.1016/0022-1902\(74\)80086-2](http://dx.doi.org/10.1016/0022-1902(74)80086-2)
125. Benoit R.L., Milanova E. *Vapour pressure and calorimetric data for the solution of sulfur dioxide in aprotic solvents*. Can. J. Chem., 1979, vol. 57, no 11, pp. 1319–1323. <http://dx.doi.org/10.1139/v79-215>
126. Woods A.S., Ferré S. *Amazing Stability of the Arginine–Phosphate Electrostatic Interaction*. J. Proteome Res., 2005, vol. 4, no 4, pp. 1397–1402. <http://dx.doi.org/10.1021/pr050077s>
127. Grundnes J., Christian S.D. *Solvent Effects on Strong Charge-Transfer Complexes. I. Trimethylamine and Sulfur Dioxide in Gas and in Heptane*. J. Am. Chem. Soc., 1968, vol. 90, no 9, pp. 2239–2245. <http://dx.doi.org/10.1021/ja01011a006>
128. Grundnes J., Christian S.D., Cheam V., Farnham S.B. *Solvent Effects on Strong Charge-Transfer Complexes. IV. Trimethylamine and Sulfur Dioxide in the Vapor Phase*. J. Am. Chem. Soc., 1971, vol. 93, no 1, pp. 20–23. <http://dx.doi.org/10.1021/ja00730a003>
129. Grundnes J., Christian S.D. *Solvent Effects on Strong Charge Transfer Complexes. III. Trimethylamine and Sulphur Dioxide in Polar Solvents*. Acta Chem. Scand., 1969, vol. 23, no 10, pp. 3583–3585. <http://dx.doi.org/10.3891/acta.chem.scand.23-3583>
130. Kuczkowski R.L., Taleb-bendiab A. *Tunneling motions in sulfur dioxide complexes*. Structures and Conformations of Non-Rigid Molecules., 1993, Vol. 410, pp. 257–276. http://dx.doi.org/10.1007/978-94-011-2074-6_13
131. Bishop R., Craig D.C., Dance I.G., Scudder M.L., Ung A.T. *Interpenetrating inclusion lattices: Comparison of the β -hydroquinone and ellipsoidal clathrate structures*. J. Struct. Chem., 1999, vol. 40, no 5, pp. 663–671. <http://dx.doi.org/10.1007/BF02903443>
132. Huss A. J., Eckert C.A. *Equilibria and ion activities in aqueous sulfur dioxide solutions*. J. Phys. Chem., 1977, vol. 81, no 24, pp. 2268–2270. <http://dx.doi.org/10.1021/j100539a015>
133. Martell A.E., Smith R.M. *Critical stability constants*. Vol. 6: Second Supplement. New York, Plenum Press, 1989, 660 p.
134. Khoma R.E., Gelboldt V.O., Koroeva L.V., Ennan A.A., Mazepa A.V., Brusilovskiy Yu.E. *Spectral characterization of products descriptions of sulphur (IV) oxide interaction with ethanolamines aqueous solutions*. Voprosy khimii i khimicheskoi technologii, 2012, no 1, pp. 133–136. (in Russian)

- 135.Khoma R.E., Ennan A.A., Mazepa A.V., Gelmboldt V.O. *Spectral characterization of products interaction of sulphur dioxide with N-alkylated monoethanolamines derivatives aqueous solutions.* Voprosy khimii i khimicheskoi technologii, 2013, no 1, pp. 136-138. (in Russian)
- 136.Khoma R.E., Gelmboldt V.O., Shishkin O.V., Baumer V.N., Puzan A.N., Ennan A.A., Rakipov I.M. *Synthesis and structure of N-(hydroxyethyl)ethylenediammonium sulfite monohydrate.* Russ. J. Inorg. Chem., 2014, vol. 84, no 5, pp. 541-544. <http://dx.doi.org/10.1134/S0036023614060096>
- 137.Khoma R.E., Gelmboldt V.O., Baumer V.N., Shishkin O.V., Koroeva L.V. *Synthesis and structure of aminoguanidinium sulfite monohydrate.* Russ. J. Inorg. Chem., 2013, vol. 58, no 7, pp. 843-847. <http://dx.doi.org/10.1134/S0036023613070140>
- 138.Khoma R.E., Gelmboldt V.O., Shishkin O.V., Baumer V.N., Ennan A.A. *Synthesis, crystal structure, vibrational spectra, and thermochemical transformations of tris(hydroxymethyl)aminomethane.* Russ. J. Inorg. Chem., 2014, vol. 59, no 1, pp. 1-6. <http://dx.doi.org/10.1134/S0036023614010069>
- 139.Khoma R.E., Ennan A.A., Shishkin O.V., Baumer V.N., Gelmboldt V.O. *Products of interaction between Sulfur(IV) oxide and aqueous solutions of hexamethylenediamine and tert-Butylamine: The crystal structure of hexamethylenediammonium sulfate dihydrate.* Russ. J. Inorg. Chem., 2012, vol. 57, no 12, pp. 1559-1562. <http://dx.doi.org/10.1134/S003602361212008X>
- 140.Khoma R.E., Gelmboldt V.O., Baumer V.N., Puzan A.N., Ennan A.A. *Methylammonium sulfate: Synthesis and structure.* Russ. J. Inorg. Chem., 2015, vol. 60, no 10, pp. 1199-1203. <http://dx.doi.org/10.1134/S0036023615100101>
- 141.Khoma R.E., Ennan A.A., Gelmboldt V.O., Shishkin O.V., Baumer V.N., Mazepa A.V., Brusilovskii Yu.E. *Preparation and some physicochemical properties of benzylammonium sulfates.* Russ. J. Gen. Chem., 2014, vol. 84, no 4, pp. 637-641. <http://dx.doi.org/10.1134/S1070363214040069>
- 142.Belin C., Roziere J., Potier J. *The Structure of 2,2'-Bipyridiniurn Bis(fluorosulfate).* Acta Cryst. 1981, vol. B37, pp. 1306-1309. <http://dx.doi.org/10.1107/S0567740881005761>
- 143.Bowen R.J., Fernandes M.A., Gitari P.W., Layh M. *2,2'-Bipyridinium(I⁺) bromide monohydrate* Acta Crystallogr C., 2004, vol. C60(Pt 2), pp. o113-114. <http://dx.doi.org/10.1107/S0108270103028282>
- 144.Ma G., Ilyukhin A., Glaser J. *2,2'-Bipyridinium bis(perchlorate).* Acta Crystallogr. C., 2000, vol. C56, pp. 1473-1475. <http://dx.doi.org/10.1107/S0108270100012452>